



سنگنگاری، زمین شیمی سنگکل و شیمی کانی کلینوپیروکسن و آمفیبول در سنگهای قلیایی بازیک قاعده سازند شمشک، جنوب آزادشهر، البرز شرقی

شیرین شهابی^{*}، حبیب ا... قاسمی^۱، مهدی رضائی کهخائی^۱، ژای مینگو^۲

۱- گروه پترولیومی و زمین‌شناسی اقتصادی، دانشکده علوم زمین، دانشگاه صنعتی شاهروд

۲- مؤسسه زمین‌شناسی و زمین‌فیزیک آکادمی علوم چین، پکن، چین

(دریافت مقاله: ۹۸/۱۲/۱۴، نسخه نهایی: ۹۹/۴/۷)

چکیده: در منطقه جنوب آزادشهر، در قاعده توالی‌های سازند شمشک، وجود دو رخمنون متفاوت از سنگ‌های آذرین بازیک به صورت توده‌های الیوین‌گابریوی و دایک‌های دیوریتی قلیایی پگماتوئیدی نمایان است. کانی‌های سازنده الیوین‌گابروها شامل الیوین، کلینوپیروکسن و پلازیوکلاز هستند و دیوریت‌های قلیایی نیز از آمفیبول‌های درشت بلور و پلازیوکلاز تشکیل شده‌اند. زمین شیمی عناصر اصلی، کمیاب و خاکی نادر این نمونه‌ها نشان دهنده ماهیت قلیایی ماقمای سازنده و برخاستن این ماقما از یک خاستگاه گوشه‌ای مشابه با خاستگاه نوع بازالت جزایر اقیانوسی (OIB) است. ترکیب شیمیایی کانی‌های الیوین و پلازیوکلاز در الیوین‌گابروها به ترتیب کربیزولیت و لابرادوریت است. کلینوپیروکسن‌های الیوین‌گابروها از نوع دیوبسید-اوژیت با ماهیت قلیایی و غیرکوهزاری هستند و در فشار حدود ۲ تا ۱۱ کیلوبار، دمای ۱۲۰۰ تا ۱۲۵۰ درجه سانتیگراد و گربیزندگی اکسیژن بالا تشکیل شده‌اند. آمفیبول‌های دیوریت‌های قلیایی نیز با ترکیب کرسوتیت-مگنزیوہاستینگزیت (کلسیمی) از نوع آذرین مشخص شده‌اند و دارای خاستگاه گوشه‌ای هستند. دما و فشار تبلور آمفیبول‌ها، ۹۵۰ درجه سانتیگراد و در گستره ۶۰۰ تا ۷۵۰ مگاپاسکال (معادل ۶ تا ۷ کیلوبار) تعیین شده‌است. پلازیوکلازهای دیوریت‌های قلیایی دارای ترکیب آلبیتی دارند.

واژه‌های کلیدی: سنگ‌های قلیایی بازیک، سازند شمشک، شیمی کانی کلینوپیروکسن و آمفیبول، آزادشهر، البرز شرقی.

پیشین که شاهدی بر دو رویداد سیمیرین پیشین و میانی هستند، در رشته کوه‌های البرز، قطعه ایران مرکزی و پهنه کپه داغ به نام سازند شمشک شناخته می‌شوند. این سازند دربردارنده رسوب‌های آواری قاره‌ای ذغال‌داری است که در یک حوضه پیش‌خشکی (foreland) نهشته شده‌است [۹]. سازند شمشک بهویژه در پهنه البرز در بخش‌های زیرین خود، میزبان فعالیت‌های ماقمایی مافیک بوده است که به اعتقاد بسیاری از پژوهشگران، برآمده از حرکت‌های کششی پس از فازهای فشارشی تریاس میانی هستند [۱۰]. از جمله این فعالیت‌های ماقمایی می‌توان به توده‌های گابریوی ترالیتی و تشنیتی کمرین (البرز مرکزی) در اوخر تریاس [۱۱، ۱۲]، سنگ‌های آذرین بازیک ژوراسیک پیشین-میانی در پهنه البرز شرقی، شمال

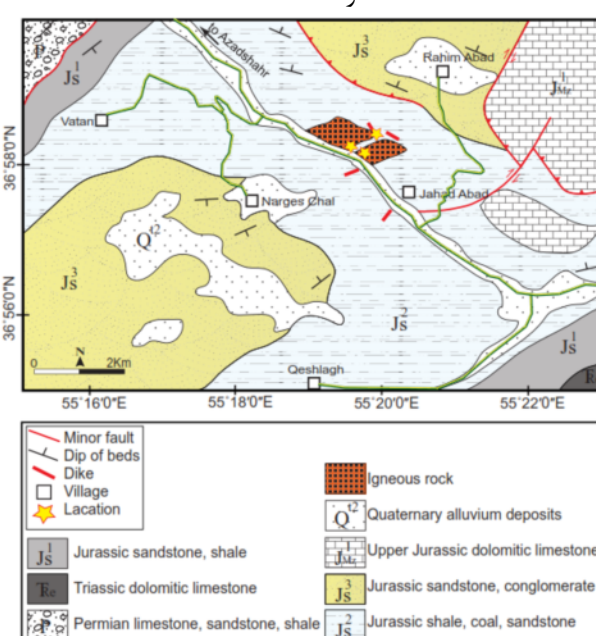
مقدمه
پهنه ساختاری البرز در مرز جنوبی دریای خزر و شمال قطعه ایران مرکزی واقع است و با روند شرقی-غربی از نواحی قفقاز کوچک تا افغانستان گسترش دارد [۱] و به عنوان بخشی از سرزمین‌های گندوانایی، پس از باز شدن اقیانوس نئوتیس به سمت قطعه اوراسیا جابجا شده و با آن برخورد نموده است [۳، ۲]. این پهنه به عنوان یک نوار چندکوهزاری دستخوش رویدادهای زمین‌ساختی جهانی سیمیرین و آلپی شده است [۴]. اساسی ترین بخش این رویدادهای متناوب از کوهزاد ائوسیمیرین آغاز شده [۷-۵] و تا فازهای انتقالی- فشارشی درون قاره‌ای ترشیری پسین-کواترنری ادامه یافته است [۸].
توالی‌های شیلی و ماسه سنگی با سن تریاس پسین-ژوراسیک

عرض‌های جغرافیایی شمالی "۵۹'۰۰ - ۳۶'۰۰" و جنوبی "۳۶'۰۰ - ۵۶'۰۰" در ایران دارد و برپایه تقسیم بندی‌های ساختاری و چینه‌نگاری ایران [۲۰، ۲۱]، در بخش شرقی پهنه البرز واقع است. زمین ریخت کلی این منطقه، از نظر ساختاری به صورت یک ناودیس بزرگ با راستای شمال شرق-جنوب غرب است که نام ناودیس نرگس چال شناخته می‌شود [۲۱]. قدیمی‌ترین سنگ‌های رسوبی قابل دیده در منطقه مورد بررسی به ترتیب شامل مجموعه‌ای از سنگ‌های آهکی، ماسه سنگی و شیلی دوره پرمیون بوده (واحد P) و پس از آن، تنابی از آهک‌های دولومیتی نازک لایه و ضخیم لایه به سن تریاس (واحد TRe) هستند که در دو طرف ناودیس قرار دارند (شکل ۱). از نظر چینه‌نگاری، شناخته‌شده‌ترین توالی رسوبی منطقه شامل لایه‌های شیل و ماسه سنگ ذغال‌دار شمشک به سن ژوراسیک هستند که در بخش میانی ناودیس واقع بوده و شامل واحدهای سنگی J_s^1 (تناب ماسه سنگ و شیل سیاه)، J_s^2 (شیل، شیل ذغال‌دار و ماسه سنگ)، J_s^3 (ماسه سنگ و کنگلومراز ریزدانه) و J_{Mz}^1 (آهک‌های دولومیتی آذرین لایه‌یسی شده ضخیم لایه و آهک) هستند. جوان ترین توالی‌های دیده شده در این منطقه نیز در بردارنده رسوب‌های آبرفتی کواترنری (واحد Q^2) هستند که اغلب دره‌ها و مسیر رودخانه‌ها را پوشانده‌اند. سنگ‌های آذرین مورد بررسی به شکل دایک‌هایی با ضخامت ۳ تا ۵ متر و توده‌های نفوذی کوچک در واحد J_s^2 سازند شمشک نفوذ کرده‌اند (شکل ۱).

شرق شاهرود تا شمال غرب دامغان [۱۶-۱۳] اشاره نمود. سنگ‌های آذرین موجود در سازند شمشک در جنوب آزادشهر، بر پایه داده‌های نقشه زمین‌شناسی ۱۲۵۰۰۰ گرگان [۱۷] تنها به صورت روانه‌های بازالتی و یا بر اساس بررسی‌های سایر پژوهشگران [۱۹-۱۳]، به صورت گدازه‌های بازالتی و دو آذرین لایه بزرگ جداش یافته با ترکیب گابرویی، دیوریتی، مونزونیتی و مونزونیتی گزارش شده‌اند. با این وجود، براساس بررسی‌های صحرایی این پژوهش، افزون بر سنگ‌های یاد شده، رخمنونهایی از سنگ‌های مافیک با ترکیب دیوریتی قلیایی به شکل دایک و الیوین‌گابرویی به صورت توده‌ی نفوذی کوچک نیز دیده می‌شود. تاکنون، بررسی ویژگی‌های سنگ‌شناسی و زمین‌شناسی روانه‌های بازالتی و آذرین لایه‌های جداش یافته یاد شده تنها بر اساس تجزیه‌های زمین شیمیایی سنگ‌کل بوده و هیچ پژوهشی در مورد سنگ‌نگاری، شیمی سنگ‌کل و شیمی کانی دیوریت‌های قلیایی و الیوین‌گابروها انجام نشده است، از این رو در این پژوهش، با در نظر گرفتن داده‌های پیشین و با تکیه بر نتایج جدید شیمی سنگ‌کل و شیمی کانی‌های الیوین، کلینوپیروکسن، آمفیبول و پلازیوکلаз، ماهیت کلی این سنگ‌ها، کانی‌های تشکیل دهنده و شرایط فیزیکو-شیمیایی تبلور آنها بررسی شد.

زمین‌شناسی عمومی

منطقه مورد بررسی در کنار روستای نرگس چال، در ۲۰ کیلومتری جنوب آزادشهر از توابع استان گلستان، در گستره طول‌های جغرافیایی شرقی "۵۵°۰۰' - ۵۵°۲۲'" و عرض‌های



شکل ۱ نقشه زمین‌شناسی ساده شده منطقه جنوب آزادشهر و جایگاه نمونه‌های برداشت شده، برگرفته از مراجع [۱۷، ۲۱] با تغییرات.

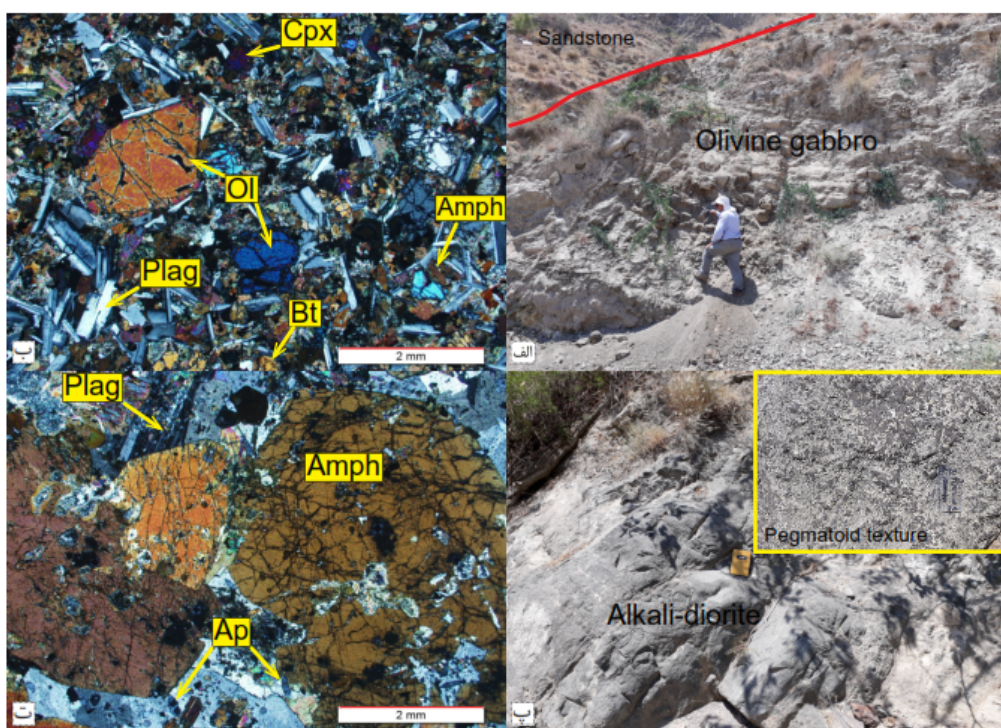
تا بی شکل با اندازه $0/1$ تا $0/5$ میلیمتر دیده می‌شوند. اندازه پلاژیوکلازها در نمونه‌های ریزبلور تا $0/2$ میلیمتر و در نمونه‌های درشت بلورتر گاهی به 2 تا 3 میلیمتر نیز می‌رسد. بلورهای نیمه شکل‌دار تا بی شکل پلاژیوکلاز اغلب همراه با ماکل چندریخت دیده می‌شوند. بر اساس مشاهدات سنگنگاری چون روابط کانی‌ها، بافت و اندازه بلورها، کلینوپیروکسن‌ها و الیوین‌ها فازهای اولیه را تشکیل می‌دهند و پس از آنها پلاژیوکلازها شکل گرفته‌اند. برخی از بلورهای درشت پلاژیوکلاز، بلورهای الیوین و کلینوپیروکسن را به شکل بافت پویکلیتیک احاطه نموده‌اند. آمفیبیولها و بیوتیت‌ها نیز به صورت نیمه شکل‌دار تا بی شکل، برآمده از فرایند تبلور تاخیری در حضور سیال‌های آبگین مراحل نهایی تبلور هستند. همچنین در برخی نمونه‌ها، اورالیتی شدن کلینوپیروکسن‌ها، سریسیتی شدن پلاژیوکلازها و تبدیل آمفیبیولها و بیوتیت‌ها به کلریت نیز دیده می‌شود (شکل ۲ ب).

دیوریت قلیایی به گونه‌ای از دیوریت‌ها گفته می‌شود که در کانی شناسی خود دارای یک کانی قلیایی تیره رنگ مانند آمفیبیول کرسوتیتی و یا آمفیبیول نوع بارکوبیکیت ویژه در پگماتیت‌ها باشند. دیوریت‌های قلیایی این منطقه اغلب به صورت دایک‌های تقریباً عمود بر لایه‌ها با ضخامت 3 تا 5 متر رخنمون دارند. کانی‌های تشکیل دهنده این سنگ‌ها شامل 40 تا 50 درصد آمفیبیول، 30 تا 40 درصد پلاژیوکلاز و حدود 5 تا 10 درصد آپاتیت هستند. کانی کوارتز نیز گاهی به صورت ریزبلور دیده می‌شود. تبلور آمفیبیول‌های قهقهه‌ای رنگ و نیمه شکل‌دار تا شکل‌دار با اندازه 2 تا 10 میلیمتر و یا بزرگتر با تراکم بالا در این سنگ‌ها منجر به ایجاد بافت دانه‌ای و پگماتوئیدی شده‌است. بلورهای پلاژیوکلاز بیشتر به صورت بی شکل تا نیمه شکل‌دار با اندازه $0/5$ تا 1 میلیمتر، همراه با ماکل چندریخت ظاهر شده و تا حدی در معرض دگرسانی سریسیتی قرار گرفته‌اند. گاهی آمفیبیولها در بخش‌هایی از رخها و یا محل شکستگی‌ها به کلریت و یا بیوتیت تبدیل شده‌اند (شکل ۲-ت). بلورهای آپاتیت نیز به صورت شکل‌دار با اندازه $0/1$ تا 1 میلیمتر و گاهی با مقطع عرضی شش ضلعی تبلور یافته‌اند.

روابط صحرایی و سنگنگاری

چنان که اشاره شد، بر اساس پیمایش‌ها و مشاهدات صحرایی دقیق در این پژوهش، افزون بر بازالت‌ها و آذرین لایه‌های گابرویی، وجود دو رخنمون متفاوت از مجموعه سنگ‌های مافیک به صورت توده‌های کوچک الیوین‌گابرویی و دایک‌های دیوریتی قلیایی آشکار شد. گروه نخست سنگ‌های مافیک این منطقه، الیوین‌گابروها هستند که به صورت توده‌های کوچک با سیمای تیره رنگ و گاهی با سطوح فرسایشی به نسبت کروی شکل (فسایش پوست پیازی) در توالی‌های شیل و ماسه سنگی سازند شمشک بروزند دارند (شکل ۲ الف). گروه دوم شامل دایک‌های دیوریتی قلیایی با ضخامتی حدود 3 الی 5 متر و درازای بیش از 10 متر با راستای شمال-شمال غربی هستند که به صورت تقریباً عمودی و مایل نسبت به لایه‌های سازند شمشک قرار دارند. این سنگ‌ها به علت وجود کانی‌های سنگ‌ساز مافیک تیره چون آمفیبیول‌های درشت بلور که حالت پگماتوئیدی نشان می‌دهند، دارای سیمای تیره رنگ بوده و نسبت به میزبان خود به خوبی قابل تمایز هستند. بافت پگماتوئیدی موجود در این دایک‌ها در تصویر ۲-پ قابل دیده است. شواهد لبه انجاماد سریع و اثر دمایی ناشی از نفوذ سنگ‌های مافیک در سنگ میزبان، در هر دو گروه سنگی یعنی الیوین‌گابروها و دیوریت‌های قلیایی دیده می‌شود.

الیوین‌گابروها به شکل توده‌های نفوذی کوچک با ترکیب کانی شناسی یکنواخت در سازند شمشک نفوذ کرده‌اند. اندازه کانی‌های تشکیل دهنده این سنگ‌ها در مرکز توده، درشت تر بوده و در لبه به علت سریع‌تر سرد شدن به صورت ریزبلور است. کانی‌های اصلی تشکیل دهنده الیوین‌گابروها شامل پلاژیوکلاز (30 تا 40 درصد)، کلینوپیروکسن (20 تا 30 درصد) و الیوین (10 تا 20 درصد)، آمفیبیول‌ها حدود 10 درصد و بیوتیت‌ها حدود 5 درصد هستند. کانی‌های مگنتیت و آپاتیت نیز به عنوان کانی‌های فرعی آن‌ها شناخته می‌شوند. بافت‌های غالب دیده شده در این گروه از سنگ‌های مافیک انباشتی و در برخی موارد افیتیک و ساب‌افیتیک هستند. الیوین‌ها اغلب شکل‌دار تا نیمه شکل‌دار با اندازه $0/1$ تا 2 میلیمتر هستند و کلینوپیروکسن‌ها نیز به صورت نیمه شکل‌دار



شکل ۲ تصاویر صحرایی از حضور سنگ‌های آذرین مافیک در منطقه جنوب آزادشهر به همراه تصاویر میکروسکوپی آنها. الف- رخمنون توده‌ی کوچک الیوین‌گابروی در میان توالی ماسه سنگی شمشک، ب- الیوین‌گابرو و حضور بلورهای پلازیوکلاز، الیوین، کلینوپیروکسن، آمفیبیول و بیوتیت در آن، پ- دایک دیوریتی قلیایی به همراه نمای نزدیک از سیمای نزدیک از پگماتوئیدی آمفیبیول‌ها و ت- بلورهای درشت آمفیبیول در نمونه دیوریتی قلیایی. (نشانه‌های اختصاری شامل: Plag : آمفیبیول، Amph : پلازیوکلاز، CPX : کلینوپیروکسن، Ol : الیوین، Bt : بیوتیت و Ap : آپاتیت هستند).

CAMECA IGGCAS با استفاده از ریزپردازشگر الکترونی SXFive انجام شد.

بحث

زمین شیمی عناصر اصلی و کمیاب

مقدار تمرکز عناصر اصلی و کمیاب سنگ کل نمونه‌های مورد بررسی در جدول ۱ آورده شده‌اند. بررسی‌های سنگ‌نگاری و مقدار مواد فوار (LOI) سنگ‌های مافیک منطقه جنوب آزادشهر (۳۹۱ تا ۱۳۴ درصد وزنی) نشان می‌دهد که مقدار دگرسانی در مقاطع نازک نیز کم تا متوسط است. درصد وزنی نمونه‌ها از ۴۱.۸۶ تا ۵۰.۱۱ در تغییر بوده و در نمودار رده‌بندی سنگ‌های آذرین TAS، یعنی مجموع قلیایی‌ها (Na₂O+K₂O) نسبت به SiO₂ [۲۲]، تقریباً همه نمونه‌ها در بالای منحنی تفکیک کننده سری‌های قلیایی و در میدان‌های پریدوگابرو، گابرو و فوییدگابرو قرار دارند (شکل ۳ الف). همچنین در نمودار تقسیم‌بندی سنگ‌ها براساس مقدار Zr/TiO₂ نسبت به Nb/Y [۲۳]، نمونه‌های جنوب آزادشهر در میدان گابروهای قلیایی واقع هستند (شکل ۳ ب). نمونه‌های

روش بررسی

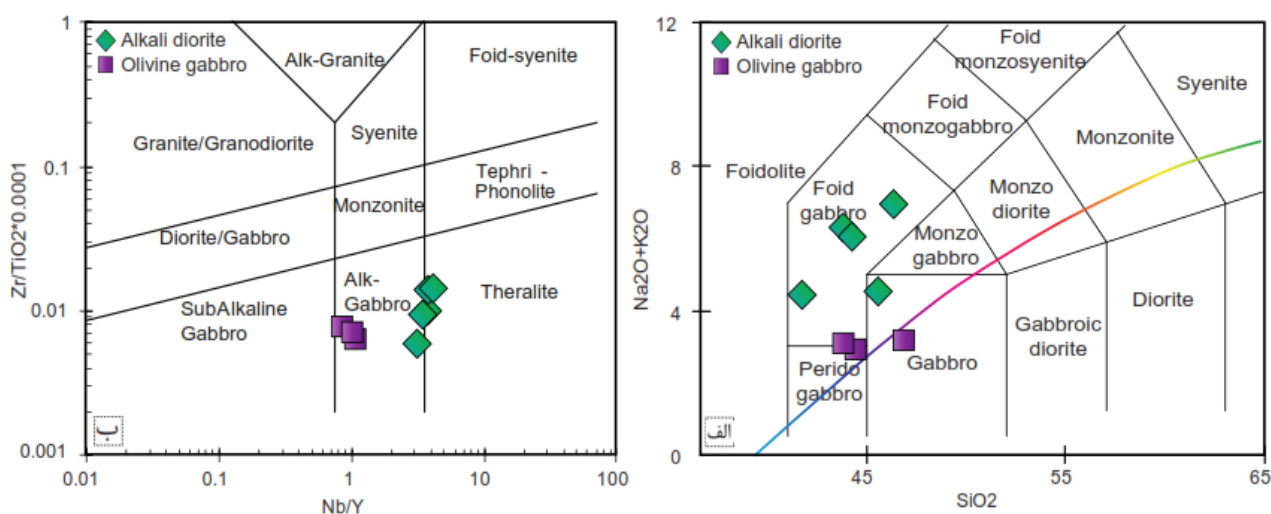
طی بررسی‌های زمین شناسی منطقه جنوب آزادشهر و توالی‌های رسوبی موجود در آن، تعداد ۱۶ نمونه سنگی از مجموعه سنگ‌های آذرین مافیک رخمنون یافته در سازند شمشک برداشت شد. پس از بررسی‌های سنگ‌نگاری، تعداد ۸ نمونه با کمترین دگرسانی برای انجام تجزیه‌های زمین شیمی سنگ کل و شیمی کانی انتخاب شدند. این نمونه‌ها شامل ۵ نمونه دیوریت قلیایی و ۳ نمونه الیوین‌گابرو هستند. مقدار تمرکز عناصر اصلی موجود در این نمونه‌ها به روش طیفسنجی فلئورسانس پرتوی x (XRF) توسط دستگاه AXIOS و عناصر خاکی نادر و کمیاب به روش طیفسنجی جرمی پلاسمای جفت شده القایی (ICP-MS) با دستگاه finnigan Mat (ICP-MS) با انجمن علوم چین، IGGCAS در پکن تجزیه شدند. پس از تهیه مقاطع نازک‌صیقلی از دو نمونه دیوریت قلیایی و سه نمونه الیوین‌گابرو، تجزیه شیمی کانی‌های آنها برای ۹۰ نقطه از جمله الیوین، پیروکسن، پلازیوکلاز و آمفیبیول در آزمایشگاه

دیوریت‌های قلیابی به ترتیب ۷۰ و ۵۲ است. این مقادیر نشان می‌دهند که خاستگاه احتمالی الیوین‌گابروها اولیه است در حالی که دیوریت‌های قلیابی تا حد فرایندی‌های تبلور جدایشی را پشت سر گذاشته و احتمالاً بخش‌های جدایش یافته یک مagma مافیک واحد بوده‌اند.

دیوریتی قلیابی به علت بالا بودن مقدار Nb، کمی به سمت گستره سنگ‌های زیر اشباع از آذرین لایه‌سیس (ترالیت) مایل شده‌اند. مقدار عدد منیزیم بالا در سنگ‌های مافیک Mg# بین ۶۸ تا ۷۵) نشان دهنده ناشی شدن آنها از یک magma اولیه است [۲۴]. میانگین مقدار Mg# در الیوین‌گابروها و

جدول ۱ نتایج تجزیه شیمی سنگ‌کل عناصر اصلی (درصد وزنی) و کمیاب (ppm) برای نمونه‌های مافیک جنوب آزادشهر.

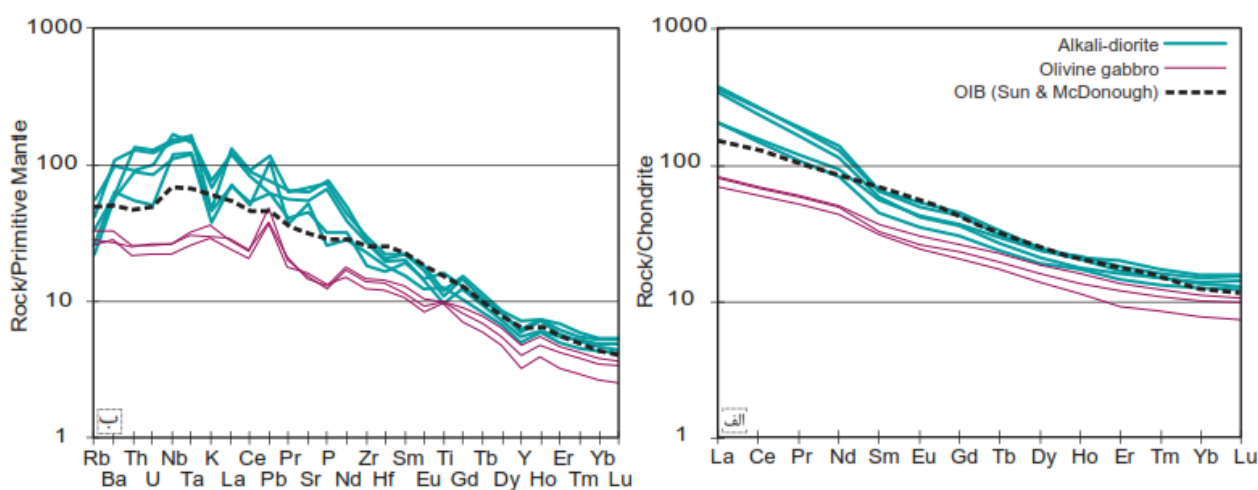
Sample	Q-4	Q-5	Q-7	Q-8	Z-8	Q-12	Q-14	Q-15
Type	Alkali-diorite	"	"	"	"	Olivine gabbro	"	"
SiO ₂	۲۵,۴۴	۸۶,۴۱	۴۹,۴۵	۳۱,۴۶	۷۵,۴۳	۹۱,۴۶	۴۹,۴۴	۹۱,۴۳
TiO ₂	۳۹,۲	۵۱,۳	۷۶,۲	۱۲,۲	۶۲,۲	۱۱,۲	۱۲,۲	۰,۹,۲
Al ₂ O ₃	۶۷,۱۶	۹۱,۱۳	۴۲,۱۴	۲۹,۱۷	۴۷,۱۶	۴۴,۱۱	۹۹,۹	۹۲,۱۰
Fe ₂ O ₃ T	۷۹,۱۰	۹۴,۱۱	۸۲,۱۰	۳۶,۱۱	۷۸,۱۱	-۰,۱۳	۱۸,۱۴	۵۲,۱۴
MnO	۲,۰	۱۶,۰	۱۷,۰	۱۷,۰	۱۴,۰	۱۷,۰	۱۸,۰	۱۷,۰
MgO	۹۳,۳	۵۲,۹	۹	۸۷,۳	۷۹,۴	۲۶,۱۲	۵۹,۱۵	۴۶,۱۳
CaO	-۰,۵,۱۰	۷۳,۱۰	۹۸,۹	۲۶,۷	۹۶,۸	۲۱,۸	۱۲,۸	۲۸,۸
Na ₂ O	۵۷,۴	۹۹,۲	۴۲,۳	۶۵,۴	۲۵,۴	۲۹,۲	۸۶,۱	۲۵,۲
K ₂ O	۴۴,۱	۴۲,۱	۱۶,۱	۳۲,۲	-۰,۷,۲	۸۹,-	-۰,۸,۱	۸۶,-
P ₂ O ₅	۶,۱	۷,-	۵۷,-	۳۵,۱	۶۹,۱	۲۸,-	۲۷,-	۲۸,-
LOI	۶۲,۳	۵۶,۱	۵۲,۱	۵۶,۲	۳	۳۴,۱	۳۶,۱	۳۴,۳
TOTAL	۵۹,۹	۳۹,۸	۲۲,۹۹	۳۱,۹۹	۵۷,۹۹	۴۲,۹۹	۳۵,۹۹	-۰,۸,۱۰
Be	۲۴,۲	۴۶,۱	۹۲,۱	۴۶,۲	۳	۹۵,۰	۹۵,۰	۸۲,-
Sc	۶۲,۷	۵۲,۲۰	۶۷,۲۶	-۰,۷,۷	۱,۰	۹۲,۲۵	۲۷,۲۴	۷۵,۱۹
V	۸,۱۸۶	۴۳,۳۰۷	۴۳,۲۲۲	۲,۱۵۰	۲۳۵	۲۶,۲۱۰	۵۶,۱۹۹	۶۳,۱۲۴
Cr	۵۹,۳	۴۵,۳۲۶	۲۳,۳۴۸	۴۸,۲۲	-۰,۵۴۱	-۰,۶,۰۸۵	۶۷,۵۹۹	۲۶,۵۳۴
Co	-۰,۶۲۶	۵۱,۴۶	۸۷,۳۹	۸۷,۲۲	۳۳	-۰,۹,۵۸	۲۱,۶۹	۹۶,۶۶
Ni	۳۱,۱۴	۲۸,۱۶۱	۷۲,۱۵۱	۱۶,۱۹	۲,۰	۸۴,۳۷۱	۲۵,۴۶۸	۵۳,۴۳۶
Ga	۸۴,۲۲	۷۶,۱۷	۱۲,۱۷	۹۳,۲۰	۵۲,۲۱	۵۹,۱۶	۶۱,۱۳	۸۶,۱۳
Rb	۵۸,۲۱	۸۹,۱۶	-۰,۹,۱۴	۷۹,۲۶	۴,۳۵	۷۷,۱۷	۴۱,۱۰	۳,۱۶
Sr	۵۹,۱۴۲۸	۴۷,۹۶۱	۲۶,۱۱۰,۹	۳۵,۱۱۸,۳	۹,۱۱۲۱	۵۴,۳۰,۸	۱۳,۳۱۸	۳۶,۳۳۵
Y	۸۶,۲۸	۳۳,۳۷	-۰,۷,۲۳	۴۲,۲۵	۲,۳۳	۴۲,۲۱	۲۲,۱۸	۶۲,۱۴
Zr	۷۶,۳۳۷	-۰,۵,۰,۷	-۰,۷,۲۵۸	۷۷,۳۰,۵	۸,۳۰,۸	۶۱,۱۶۲	۳۵,۱۰۳	۸۹,۱۳۵
Nb	۶۹,۱۰,۹	۷۳,۸۵	۳۵,۸۰	۸۴,۱۰,۳	۶,۱۲۰	۳۱,۱۸	۶۲,۱۸	۰,۱۵
Cs	۶۶,-	۵۸,۰	۵۴,-	۶۱,-	۸,-	۳۸,-	۶۶,-	۰,۵۰
Ba	۸,۴۳۰	۱۹,۴۵۱	۲۹,۴,۷	۲۹,۷۶۳	۶۷۹	-۰,۵,۱۸۶	۳۴,۲۲۸	۵۸,۱۹۷
La	۷,۹,۰	۴۰,۴۸	۴۳,۴۹	۳۱,۸۲	۸,۸۴	۵۲,۱۹	-۰,۳,۱۹	۴۸,۱۶
Ce	۲۷,۱۶۴	-۰,۲۹۷	۸۸,۹۱	۴۱,۱۴۷	۱,۱۵۸	۷۸,۴۱	۸۲,۴۰	۲۱,۳۶
Pr	۷۶,۱۷	۵,۱۱	۴۶,۱۰	۷۲,۱۵	-۰,۳,۱۸	۷۱,۵	۵۳,۵	۸۳,۴
Nd	۶۸,۶-	۷۴,۴۳	۲۱,۳۹	۵۱,۰۳	۸,۶۴	۵۸,۲۳	۶۰,۲۲	۲۲,۲۰
Sm	-۰,۱,۱۰	۵۸,۸	۹۷,۶	۱۳,۹	۹۰,۹	۶۶,۵	-۰,۱,۰	۷۲,۴
Eu	۹,۲	۵۱,۲	-۰,۸,۲	۴۷,۲	-۰,۹,۳	۷۲,۱	۵۲,۱	۴,۱
Gd	۹۱,۰,۸	۷۴,۷	۳۲,۶	۴۶,۷	۲۲,۹	۳۲,۵	۷۷,۴	۱۹,۴
Tb	۱۷,۱	۱۲,۱	۹۱,-	-۰,۲,۱	۲۵,۱	۸۴,-	۷۳,-	۶۴,-
Dy	۱۶,۶	۱۳,۶	۹۶,۴	۳۹,۵	۳۴,۶	۷,۴	-۰,۶,۴	۴۷,۳
Ho	۲۳,۱	۱۹,۱	۹۹,-	-۰,۱,۱	۲۱,۱	۹,-	۷۷,-	۶۴,-
Er	-۰,۵,۳	۸۳,۲	۴۶,۲	۷۱,۲	۳۲,۲	۲۲,۲	۹۸,۱	۵۲,۱
Tm	۴۲,-	۳۹,۰	۳۴,۰	۳۹,۰	۴۴,۰	۳۱,۰	۲۸,۰	۲۱,-
Yb	۶۱,۲	۳۴,۲	۱۶,۲	۴۲,۲	۶۷,۲	۸۸,۱	۷۱,۱	۳,۱
Lu	۴,-	۳۳,-	۳۲,-	۳۶,-	۴,-	۲۷,-	۲۵,-	۱۹,-
Hf	۸۷,۶	۲۱,۵	۶۷,۵	۲۱,۶	۳۶	۳۶,۴	۱۱,۴	۶۷,۳
Ta	۸۱,۶	-۰,۵,۵	۹۳,۴	۴۳,۶	۹,۵	۲۲,۱	۳,۱	-۰,۵,۱
Pb	۳,۸	۴۷,۴	۶۶,۷	۴۱,۴	-	۶۹,۲	۳۷,۲	۶۲,۲
Th	۵۸,۱۱	۶۹,۴	۶۴,۷	۹۹,۱۰	۸,۷	-۰,۸,۲	۱۵,۲	۸۴,۱
U	۷,۲	-۰,۸,۱	۷۹,۱	۶۳,۲	۱,۲	۵۵,۰	۰,۵,-	۴۸,-
Mg#	۹,۴۵	۶۵	۶۶	۹,۴۳	۶۵,۴۸	۷,۶۸	۱,۷۲	۴,۶۸
La(n)/Yb	۸۹,۲۴	۸۰,۱۴	۳۹,۱۶	۴۱,۱۲	۷۸,۲۲	۴۴,۷	۸	-۰,۹,۹



شکل ۳ موقعیت نمونه‌های آذرین منطقه جنوب آزادشهر در نمودارهای رده‌بندی سنگ‌های آذرین. الف- $\text{Na}_2\text{O} + \text{K}_2\text{O}$ نسبت به SiO_2 [۲۲] و ب- Zr/TiO_2 نسبت به Nb/Y [۲۲].

چندعنصری بازالت‌های جزایر اقیانوسی (OIB) هستند. به طور کلی، دیوریت‌های قلیایی دارای بیشترین فراوانی کلی REE هستند. این امر با کمتر بودن عدد منیزیم در دیوریت‌های قلیایی نسبت به الیوین‌گابروها همخوانی دارد و تأییدی بر طبیعت جدایش یافته تر آنهاست. فراوانی عناصر $\text{P}, \text{Ti}, \text{Nb}$ و Ta و به طور کلی عناصر با شدت میدان بالا (HFSE) در همه نمونه‌های منطقه جنوب آزادشهر تا چند ده برابر نسبت به مقادیر گوشه‌ای اولیه می‌تواند نشان دهنده ماهیت قلیایی و غنی شده ماجمای سازنده این سنگ‌ها باشد.

نمودارهای فراوانی عناصر خاکی نادر (REE) بهنجار شده نسبت به کندریت و گوشه‌های اولیه [۲۵] در شکل ۴ نشان داده شده‌اند. بر اساس نمودار REE بهنجار شده نسبت به کندریت، الگوی فراوانی این عناصر در همه نمونه‌ها با غنی‌شدنی از عناصر خاکی نادر سبک نسبت به عناصر متوسط و سنگین و سنگین ناهنجاری منفی در Eu مشخص می‌شود، به طوری که میانگین نسبت $\text{La}_{(n)}/\text{Yb}_{(n)}$ در دیوریت‌های قلیایی و الیوین‌گابروها به ترتیب برابر با ۲۰/۶۶ و ۸/۱۸ است. چنان‌که در شکل ۴ نیز دیده می‌شود، دیوریت‌های قلیایی و الیوین‌گابروهای مورد بررسی دارای الگوهای مشابه با الگوی عناصر خاکی نادر و



شکل ۴ الف- نمودار عناصر خاکی نادر بهنجار شده نسبت به کندریت برای نمونه‌های مافیک جنوب آزادشهر [۲۵] و ب- نمودار چندعنصری عناصر کمیاب بهنجار شده نسبت به گوشه‌های اولیه [۲۵]. الگوی شاخص بازالت‌های جزایر اقیانوسی (OIB) برای مقایسه رسم شده‌اند [۲۵].

شیمی کانی

الکترونی (EPMA) تجزیه نقطه‌ای شدند. نتایج اکسیدهای عناصر اصلی از کانی‌های نمونه‌های دیوریت قلیابی و الیوین-گابرو و کاتیون‌های محاسبه شده آنها (بر حسب a.p.f.u) در جدول های ۵-۲ آورده شده‌اند.

جدول ۲ نتایج تجزیه ترکیب شیمیایی کانی پلازیوکلаз در الیوین‌گابروها و دیوریت‌های قلیابی جنوب آزادشهر به روش EPMA.

SAMPLE	Q-5-1	Q-5-2	Q-5-3	Q-5-4	Q-5-5	Q-12-1	Q-12-2	Q-12-3	Q-12-4	Q-12-5	Q-12-6	Q-12-7	Q-12-8
SiO_2	۵۸.۶۸	۱۲.۶۸	۰.۵۶۸	۸۷.۶۷	۳۶.۶۸	۰.۴۵۲	۱۲.۵۳	۶۲.۵۱	۰.۱۵۳	۱۸.۵۲	۲۸.۵۲	۴۱.۵۲	
TiO_2	۰	۰	۰	۰	۰	۱۱.۰	۰.۹۰	۰.۶۰	۰.۹۰	۱.۰	۰.۷۰	۰.۹۰	۱.۰
Al_2O_3	۵۹.۱۹	۷۹.۱۹	۹.۱۹	۵۱.۱۹	۶۵.۱۹	۱۷۳۰	۹۳۲۹	۹۸۲۷	۵۹.۳۰	۵۲.۲۹	۱۷۳۰	۹۱۲۹	۷۸۲۹
Cr_2O_3	۰.۲۰	۰	۰	۰	۰	۰	۰	۰	۰.۱۰	۰	۰.۲۰	۰.۱۰	۰
FeO^*	۰.۷۰	۰	۰.۳۰	۰.۳۰	۰.۴۰	۵۹.۰	۵۸.۰	۲۲.۱	۶۱.۰	۵۲.۰	۵۲.۰	۵۷.۰	۶۲.۰
MnO	۰.۲۰	۰	۰	۰	۰	۰.۵۰	۰	۰.۵۰	۰.۱۰	۰	۰.۳۰	۰	۰
MgO	۰	۰.۱۰	۰	۰	۰	۱۶.۰	۱۳.۰	۴۷.۱	۱۷.۰	۱۱.۰	۱۸.۰	۱۲.۰	۱۱.۰
CaO	۲۴.۰	۳۲.۰	۲۴.۰	۲۶.۰	۲۵.۰	۱۷.۱۳	۸۵.۱۲	۳۸.۱۰	۴۱.۱۳	۰.۷۱۲	۷۲.۱۲	۸۹.۱۲	۶۲.۱۲
Na_2O	۸۱.۱۱	۶۷.۱۱	۷.۱۱	۷۲.۱۱	۸۵.۱۱	۸.۳	۰.۷۴	۶۳.۴	۷۵.۳	۳۵.۴	۱۸.۴	۰.۴۴	۱۶.۴
K_2O	۰.۴۰	۰.۶۰	۰.۵۰	۰.۵۰	۰.۶۰	۲۲.۰	۲۳.۰	۲۹.۰	۲.۰	۲۶.۰	۲۳.۰	۲۳.۰	۲۴.۰
NiO	۰.۱۰	۰	۰	۰	۰.۱۰	۰	۰.۱۰	۰.۲۰	۰.۱۰	۰	۰.۲۰	۰	۰.۲۰
Total	۳۲.۱۰	۹۷.۹۹	۹۷.۹۹	۴۶.۹۹	۲۲.۱۰	۳.۱۰	۹۳.۹۹	۱۹.۹۹	۴۷.۱۰	۹۴.۹۹	۲۸.۱۰	۱۶.۱۰	۰.۷۱۰
An	۱۱.۱	۵۴.۱	۱۱.۱	۲۱.۱	۱۶.۱	۷۱.۶۵	۵۹.۶۳	۳۳.۵۵	۴۱.۶۶	۵۴.۶	۷۱.۶۲	۸۱.۶۳	۶۶.۶۲
O	۸	۸	۸	۸	۸	۸	۸	۸	۸	۸	۸	۸	۸
Si	۹۸.۸۲	۹۷۹.۲	۹۷۶.۲	۹۸۴.۲	۹۸۴.۲	۳۶۲.۲	۳۷۲.۲	۴۳۱.۲	۳۴۱.۲	۴۶.۶۲	۳۶۷.۲	۳۷۵.۲	۳۸۲.۲
Ti	۰	۰	۰	۰	۰	۰.۴۰	۰.۰۳۰	۰.۰۲۰	۰.۰۳۰	۰.۰۳۰	۰.۰۳۰	۰.۰۳۰	۰.۰۴۰
Al	۰.۰۶۱	۰.۲۱	۰.۲۵۱	۰.۱۱۱	۰.۱۱۱	۶۱۴.۱	۶۰۷.۱	۵۰.۹۱	۶۳۵.۱	۵۷۹.۱	۶۱۲.۱	۶۰۱.۱	۵۹۵.۱
Cr	۰.۰۱۰	۰	۰	۰	۰	۰	۰	۰	۰	۰.۰۱۰	۰	۰	۰
Fe*	۰.۰۱۰	۰	۰.۰۱۰	۰.۰۱۰	۰.۰۲۰	۰.۲۲۰	۰.۲۲۰	۰.۴۷۰	۰.۲۳۰	۰.۲۰	۰.۲۰	۰.۲۲۰	۰.۲۴۰
Mn	۰.۰۱۰	۰	۰	۰	۰	۰.۰۲۰	۰.۰۲۰	۰.۰۲۰	۰	۰.۰۱۰	۰	۰.۰۱۰	۰
Mg	۰	۰.۰۱۰	۰	۰	۰	۰.۱۱۰	۰.۰۹۰	۰.۱۰	۰.۱۱۰	۰.۰۸۰	۰.۱۲۰	۰.۰۸۰	۰.۰۸۰
Ca	۰.۱۰	۰.۱۰	۰.۱۰	۰.۱۰	۰.۱۰	۰.۱۰	۶۴.۰	۶۲۷.۰	۵۰.۹۰	۵۰.۱۰	۵۸۱.۰	۵۸۱.۰	۶۲۷.۰
Na	۹۹.۸۰	۹۸.۹۰	۹۹.۲۰	۹۹.۹۰	۹۹.۳۱	۲۳۴.۰	۲۳۴.۰	۴۱.۱۰	۳۳.۰	۳۸.۳۰	۳۶۸.۰	۳۵۶.۰	۳۶۶.۰
K	۰.۰۲۰	۰.۰۳۰	۰.۰۳۰	۰.۰۲۰	۰.۰۳۰	۰.۱۳۰	۰.۱۳۰	۰.۱۷۰	۰.۱۲۰	۰.۱۵۰	۰.۱۳۰	۰.۱۴۰	۰.۱۴۰
Ni	۰	۰	۰	۰	۰	۰	۰	۰	۰.۰۱۰	۰	۰	۰.۰۱۰	۰
Total	۰.۰۸۵	۰.۰۷۵	۰.۰۹۵	۰.۱۱۵	۰.۱۴۵	۰.۰۱۵	۰.۱۵	۰.۰۲۷۵	۰.۰۸۵	۰	۰.۱۴۵	۰.۰۶۵	۰.۰۷۵

ادامه جدول ۲

SAMPLE	Q-14-1	Q-14-2	Q-14-3	Q-14-4	Q-14-5	Q-14-6	Q-14-7	Q-15-1	Q-15-2	Q-15-3	Q-15-4	Q-15-5	Q-15-6
SiO_2	۶۱.۵۱	۳۸.۵۱	۸.۵۵	۲۶.۵۲	۹۶.۵۲	۹۶.۵۰	۳.۵۱	۷۹.۵۱	۲۶.۵۱	۴۱.۵۱	۷۴.۵۱	۶.۵۱	۶۲.۵۱
TiO_2	۰.۹۰	۱.۰	۰.۷۰	۱۳.۰	۰.۹۰	۱.۰	۱۴.۰	۱۱.۰	۱.۰	۱۱.۰	۱.۰	۱۲.۰	۰.۹۰
Al_2O_3	۳۶.۲۰	۴۶.۳۰	۴۷.۲۸	۲۶.۲۰	۹۴.۲۹	۷۷.۲۰	۵۱.۳۰	۹۲.۲۹	۵۵.۳۰	۲۱.۳۰	۲۵.۳۰	۳۸.۳۰	۵۷.۳۰
Cr_2O_3	۰	۰	۰	۰.۱۰	۰.۱۰	۰.۱۰	۰	۰	۰.۲۰	۰	۰	۰	۰
FeO^*	۵۴.۰	۶۲.۰	۲۶.۰	۴۵.۰	۵۷.۰	۵۶.۰	۶۷.۰	۵۵.۰	۶۱.۰	۵۸.۰	۵۹.۰	۵۸.۰	۶۵.۰
MnO	۰	۰	۰.۱۰	۰.۱۰	۰.۱۰	۰.۴۰	۰.۲۰	۰.۱۰	۰.۲۰	۰	۰.۳۰	۰.۱۰	۰
MgO	۱.۰	۱۱.۰	۰.۷۰	۰.۸۰	۰.۵۰	۱.۰	۱.۰	۱۲.۰	۱۱.۰	۱.۰	۱۱.۰	۱۲.۰	۱۱.۰
CaO	۰.۶۱۳	۰.۹۱۳	۹۹.۹	۶۲.۱۲	۱۱.۱۲	۱۶.۱۲	۲۴.۱۲	۱۵.۱۲	۳۲.۱۲	۳۲.۱۲	۳۸.۱۲	۴۵.۱۲	۴۷.۱۲
Na_2O	۹۸.۳	۸۷.۷	۶.۵	۱۹.۴	۵۴.۷	۸۴.۴	۶۶.۳	۱۵.۴	۹۷.۷	۹۷.۷	۹۹.۳	۸۷.۷	۸۷.۷
K_2O	۲.۰	۲۲.۰	۳۷.۰	۲۴.۰	۲۸.۰	۱۸.۰	۲۳.۰	۲۵.۰	۲۴.۰	۲۴.۰	۲۶.۰	۲۴.۰	۲۲.۰
NiO	۰	۰.۲۰	۰.۲۰	۰.۲۰	۰.۲۰	۰.۱۰	۰	۰	۰.۲۰	۰.۱۰	۰	۰.۱۰	۰
Total	۹۳.۹۹	۱۸.۹۹	۷۵.۱۰	۲۵.۱۰	۵۲.۱۰	۷۱.۹۹	۸۴.۹۹	۰.۵۱۰	۱۹.۱۰	۰.۱۱۰	۳۵.۱۰	۳۷.۱۰	۷۱.۱۰
An	۴۸.۶۴	۱۳.۶۵	۶۲.۴۹	۴۴.۶۲	۵۶.۵۹	۴۰.۵۸	۵۲.۶۶	۶۰.۶۳	۹۷.۶۴	۱۶.۶۵	۷۷.۶۴	۷۶.۶۵	۷۹.۶۴
O	۸	۸	۸	۸	۸	۸	۸	۸	۸	۸	۸	۸	۸
Si	۳۵۱.۲	۳۴۳.۲	۴۹۶.۲	۳۶۹.۲	۳۹۳.۲	۳۲۹.۲	۳۴۱.۲	۳۶۲	۳۳۵.۲	۳۴۵.۲	۳۵۱.۲	۳۴۴.۲	۳۳۹.۲
Ti	۰.۰۳۰	۰.۰۳۰	۰.۰۳۰	۰.۰۴۰	۰.۰۳۰	۰.۰۳۰	۰.۰۵۰	۰.۰۴۰	۰.۰۳۰	۰.۰۴۰	۰.۰۴۰	۰.۰۴۰	۰.۰۳۰
Al	۶۳.۱	۶۳.۸.۱	۵۰.۱.۱	۶۱.۷.۱	۵۹.۶.۱	۶۵.۷.۱	۶۱.۱.۱	۶۰.۷.۱	۶۴.۶.۱	۶۲.۴.۱	۶۲.۱	۶۲.۷.۱	۶۳.۲.۱
Cr	۰	۰	۰	۰	۰	۰	۰.۰۱۰	۰	۰.۰۱۰	۰	۰	۰	۰
Fe*	۰.۲۱۰	۰.۲۴۰	۰.۱۳۰	۰.۱۷۰	۰.۲۰	۰.۲۱۰	۰.۲۳۰	۰.۲۱۰	۰.۲۳۰	۰.۲۲۰	۰.۲۲۰	۰.۲۲۰	۰.۲۵۰
Mn	۰	۰	۰	۰.۱۰	۰.۱۰	۰	۰.۱۰	۰.۱۰	۰.۱۰	۰	۰.۱۰	۰	۰
Mg	۰.۰۷۰	۰.۰۸۰	۰.۰۵۰	۰.۰۵۰	۰.۰۴۰	۰.۰۷۰	۰.۰۷۰	۰.۰۷۰	۰.۰۷۰	۰.۰۷۰	۰.۰۷۰	۰.۰۹۰	۰.۰۸۰
Ca	۶۳.۸.۰	۶۴.۰	۴۷۵.۰	۶۱.۳.۰	۵۸.۵.۰	۶۴۴.۰	۶۴۷.۰	۶۴۲.۰	۶۵.۰	۵۰۴.۰	۶۴۶.۰	۶۵۵.۰	۶۵۱.۰
Na	۳۵۱.۰	۳۴۲.۰	۴۸۶.۰	۳۶۹.۰	۳۹۸.۰	۳۴۰.۰	۳۲۴.۰	۳۶۷.۰	۳۵.۰	۳۵.۰	۳۵۰.۰	۳۵۰.۰	۳۵۰.۰
K	۰.۱۲۰	۰.۱۳۰	۰.۲۱۰	۰.۱۴۰	۰.۱۶۰	۰.۱۰	۰.۱۳۰	۰.۱۵۰	۰.۱۴۰	۰.۱۴۰	۰.۱۵۰	۰.۱۴۰	۰.۱۳۰
Ni	۰	۰.۰۱۰	۰.۰۱۰	۰	۰	۰	۰	۰	۰.۰۱۰	۰	۰	۰	۰
Total	۰.۱۲۵	۰.۱۲۵	۰.۰۴۵	۰.۰۹۵	۰.۱۴۵	۰.۱۴۵	۰.۰۳۵	۰.۰۲۷۵	۰.۰۴۵	۰.۰۲۱۵	۰.۰۱۸۵	۰.۰۱۸۵	۰.۰۲۵۰

جدول ۳ نتایج حاصل از تجزیه ترکیب شیمیایی (EPMA) کانی الیوین در نمونه‌های الیوین‌گابروی جنوب آزادشهر.

SAMPLE	Q-12-1	Q-12-2	Q-12-3	Q-12-4	Q-12-5	Q-12-6	Q-12-7	Q-12-8	Q-14-1	Q-14-2	Q-14-3
SiO ₂	۷,۳۹	۱۲,۳۹	۳۱,۳۹	۰,۴۰	۹۷,۳۸	۰,۲,۳۹	۹۴,۳۸	۹۷,۳۸	۳۲,۳۸	۴۴,۳۵	۶۸,۳۹
TiO ₂	۰,۲,۰	۰,۱,۰	۰,۲,۰	۰	۰,۱,۰	۰,۲,۰	۰,۱,۰	۰,۱,۰	۰,۲,۰	۰,۳,۰	۰
Al ₂ O ₃	۰,۴,۰	۰,۵,۰	۰,۵,۰	۰,۵,۰	۰,۸,۰	۰,۲,۰	۰,۴,۰	۰,۸,۰	۰,۲,۰	۰,۱,۰	۰,۵,۰
Cr ₂ O ₃	۰	۰,۱,۰	۰,۲,۰	۰,۴,۰	۰,۲,۰	۰,۳,۰	۰,۲,۰	۰,۲,۰	۰,۱,۰	۰	۰,۵,۰
FeO*	۸,۱۸	۴۶,۱۸	۷۲,۱۸	۰,۲,۱۳	۷۵,۱۷	۰,۱,۱۹	۰,۶,۱۸	۷۵,۱۷	۹۹,۲۲	۲۲,۲۳	۵۵,۱۲
MnO	۲۳,۰	۱۵,۰	۲۳,۰	۱۴,۰	۲۱,۰	۲۳,۰	۱۹,۰	۲۱,۰	۳,۰	۲۲,۰	۱۵,۰
MgO	۹۲,۴۱	۶۴,۴۱	۷۵,۴۱	۹,۴۵	۱۳,۴۲	۰,۴,۴۱	۲۱,۴۲	۱۳,۴۲	۶۲,۴۷	۴۱,۴۸	۶۴,۴۶
CaO	۱۶,۰	۱۷,۰	۱۵,۰	۲۲,۰	۲۲,۰	۱۹,۰	۲,۰	۲۲,۰	۱۸,۰	۲,۰	۲,۰
Na ₂ O	۰,۱,۰	۰,۲,۰	۰	۰	۰,۲,۰	۰,۱,۰	۰	۰,۲,۰	۰,۲,۰	۰	۰
K ₂ O	۰	۰	۰	۰	۰	۰,۱,۰	۰	۰	۰	۰	۰
NiO	۲۷,۰	۲۹,۰	۲۶,۰	۴,۰	۳۲,۰	۲۶,۰	۲۳,۰	۳۲,۰	۲۶,۰	۲۷,۰	۴۶,۰
Total	۶۱,۹۹	۹۲,۹۹	۵۱,۱۰۰	۸,۹۹	۷۳,۹۹	۸۲,۹۹	۹,۹۹	۷۳,۹۹	۶۱,۹۹	۸,۹۷	۷۸,۹۹
Fo	۹,۷۹	۰,۸,۰	۹,۷۹	۲۷,۸۶	۸۸,۸۰	۳۸,۷۹	۶۴,۸۰	۸۸,۸۰	۴۷,۷۴	۶۸,۷۴	۸۸,۸۶
O	۴	۴	۴	۴	۴	۴	۴	۴	۴	۴	۴
Si	۹۹,۵,۰	۱	۱	۹۹,۹,۰	۹۹,۶,۰	۰,۰,۲,۱	۹۹,۵,۰	۹۹,۶,۰	۰,۰,۴,۱	۹۵,۶,۰	۹۹,۰
Ti	۰	۰	۰	۰	۰	۰	۰	۰	۰,۰,۱,۰	۰	۰
Al	۰,۰,۱,۰	۰,۰,۱,۰	۰,۰,۲,۰	۰,۰,۱,۰	۰,۰,۲,۰	۰,۰,۱,۰	۰,۰,۱,۰	۰,۰,۲,۰	۰,۰,۱,۰	۰	۰,۰,۲,۰
Cr	۰	۰	۰	۰,۰,۱,۰	۰	۰,۰,۱,۰	۰	۰	۰	۰	۰,۰,۱,۰
Fe*	۴,۰	۳۹,۵,۰	۳۹,۸,۰	۲۷,۲,۰	۳۷,۹,۰	۴,۰,۸,۰	۳۸,۶,۰	۳۷,۹,۰	۵,۰,۴,۰	۵۲,۴,۰	۲۶,۲,۰
Mn	۰,۰,۵,۰	۰,۰,۳,۰	۰,۰,۵,۰	۰,۰,۳,۰	۰,۰,۴,۰	۰,۰,۵,۰	۰,۰,۴,۰	۰,۰,۴,۰	۰,۰,۷,۰	۰,۰,۵,۰	۰,۰,۳,۰
Mg	۵۹,۲,۱	۵۸,۷,۱	۵۸,۳,۱	۷,۹,۱	۶,۰,۶,۱	۵۷,۱,۱	۶,۰,۸,۱	۶,۰,۶,۱	۴۶,۹,۱	۵۴,۰,۱	۷۳,۶,۱
Ca	۰,۰,۴,۰	۰,۰,۵,۰	۰,۰,۴,۰	۰,۰,۶,۰	۰,۰,۶,۰	۰,۰,۵,۰	۰,۰,۵,۰	۰,۰,۶,۰	۰,۰,۵,۰	۰,۰,۶,۰	۰,۰,۵,۰
Na	۰	۰,۰,۱,۰	۰	۰	۰,۰,۱,۰	۰,۰,۱,۰	۰	۰,۰,۱,۰	۰,۰,۱,۰	۰	۰
K	۰	۰	۰	۰	۰	۰	۰	۰	۰	۰	۰
Ni	۰,۰,۶,۰	۰,۰,۶,۰	۰,۰,۵,۰	۰,۰,۱,۰	۰,۰,۷,۰	۰,۰,۵,۰	۰,۰,۵,۰	۰,۰,۷,۰	۰,۰,۵,۰	۰,۰,۶,۰	۰,۰,۹,۰
Total	۰,۰,۴,۳	۹۹,۹,۲	۹۹,۹,۲	۳	۰,۰,۳,۳	۹۹,۸,۲	۰,۰,۴,۳	۰,۰,۳,۳	۹۹,۶,۲	۰,۰,۴,۳	۰,۰,۸,۳

ادامه جدول ۳

SAMPLE	Q-14-4	Q-14-5	Q-14-6	Q-15-1	Q-15-2	Q-15-3	Q-15-4	Q-15-5	Q-15-6	Q-15-7
SiO ₂	۶۱,۳۹	۵۱,۳۹	۷۷,۳۸	۸۹,۳۸	۵۶,۳۸	۲۴,۳۸	۷۱,۳۸	۰,۴,۳۸	۱۵,۳۸	۷۳,۳۸
TiO ₂	۰,۱,۰	۰,۲,۰	۰,۲,۰	۰	۰,۱,۰	۰,۱,۰	۰,۱,۰	۰,۲,۰	۰,۲,۰	۰,۲,۰
Al ₂ O ₃	۰,۴,۰	۰,۲,۰	۰,۳,۰	۰,۳,۰	۰,۲,۰	۰,۲,۰	۰,۶,۰	۰,۳,۰	۰,۲,۰	۰,۲,۰
Cr ₂ O ₃	۰,۵,۰	۰,۴,۰	۰,۴,۰	۰,۲,۰	۰,۲,۰	۰	۰,۳,۰	۰,۴,۰	۰	۰,۳,۰
FeO*	۳۴,۱۳	۴۴,۱۴	۷۸,۱۷	۹۵,۱۹	۱۸,۲۲	۳۷,۲۳	۹۶,۲۱	۲,۲۴	۵۵,۲۳	۱۸,۲۳
MnO	۱۵,۰	۱۹,۰	۲۵,۰	۲۶,۰	۲۴,۰	۳۴,۰	۳,۰	۲۶,۰	۲۹,۰	۳۳,۰
MgO	۴۹,۴۵	۸۷,۴۴	۷۷,۴۱	۲۱,۴۰	۶۷,۳۸	۶۱,۳۷	۶۵,۳۸	۳۷	۴۵,۳۸	۴۴,۳۷
CaO	۱۵,۰	۲۴,۰	۱۹,۰	۲۲,۰	۲۲,۰	۲۴,۰	۲۵,۰	۲۷,۰	۲۵,۰	۲۶,۰
Na ₂ O	۰,۳,۰	۰,۳,۰	۰,۳,۰	۰,۲,۰	۰,۲,۰	۰,۱,۰	۰,۲,۰	۰,۳,۰	۰,۳,۰	۰,۱,۰
K ₂ O	۰,۱,۰	۰,۱,۰	۰	۰	۰	۰	۰	۰	۰	۰
NiO	۴۴,۰	۳۸,۰	۳۲,۰	۲۷,۰	۲,۰	۱۶,۰	۲۳,۰	۱۶,۰	۱۴,۰	۱۴,۰
Total	۳۳,۹۹	۷۸,۹۹	۲۱,۹۹	۶۱,۹۹	۱۶,۱۰۰	۱۰۰	۲۴,۱۰۰	۱۴,۱۰۰	۸۸,۱۰۰	۱۵,۱۰۰
Fo	۸۷,۸۵	۷۱,۸۴	۷۳,۸۰	۲۲,۷۸	۶۶,۷۵	۱۵,۷۴	۸۳,۷۵	۱۵,۷۳	۴۳,۷۴	۲۲,۷۴
O	۴	۴	۴	۴	۴	۴	۴	۴	۴	۴
Si	۹۹,۶,۰	۹۹,۵,۰	۹۹,۷,۰	۰,۰,۲,۱	۰,۰,۱,۱	۰,۰,۱,۱	۰,۰,۴,۱	۹۹,۹,۰	۹۹,۱,۰	۰,۱,۱
Ti	۰	۰	۰	۰	۰	۰	۰	۰	۰	۰
Al	۰,۰,۱,۰	۰,۰,۱,۰	۰,۰,۱,۰	۰,۰,۱,۰	۰,۰,۱,۰	۰,۰,۱,۰	۰,۰,۲,۰	۰,۰,۱,۰	۰,۰,۱,۰	۰,۰,۱,۰
Cr	۰,۰,۱,۰	۰,۰,۱,۰	۰,۰,۱,۰	۰	۰	۰	۰,۰,۱,۰	۰,۰,۱,۰	۰	۰,۰,۱,۰
Fe*	۲۸,۱,۰	۳۰,۴,۰	۳۸,۲,۰	۴۳,۰	۴۸,۲,۰	۵۱,۱,۰	۴۷,۶,۰	۵۳,۱,۰	۵۱,۱,۰	۵۰,۵,۰
Mn	۰,۰,۳,۰	۰,۰,۴,۰	۰,۰,۵,۰	۰,۰,۶,۰	۰,۰,۵,۰	۰,۰,۸,۰	۰,۰,۷,۰	۰,۰,۸,۰	۰,۰,۶,۰	۰,۰,۷,۰
Mg	۷۰,۶,۱	۶۸,۴,۱	۶۰,۲,۱	۵۴,۰,۱	۴۹,۷,۱	۴۸,۷,۱	۴۹,۴,۱	۴۴,۸,۱	۴۸,۹,۱	۴۵,۰,۱
Ca	۰,۰,۴,۰	۰,۰,۷,۰	۰,۰,۴,۰	۰,۰,۶,۰	۰,۰,۶,۰	۰,۰,۷,۰	۰,۰,۷,۰	۰,۰,۷,۰	۰,۰,۷,۰	۰,۰,۷,۰
Na	۰,۰,۱,۰	۰,۰,۲,۰	۰,۰,۲,۰	۰,۰,۱,۰	۰,۰,۱,۰	۰,۰,۱,۰	۰,۰,۱,۰	۰,۰,۱,۰	۰,۰,۱,۰	۰
K	۰	۰	۰	۰	۰	۰	۰	۰	۰	۰
Ni	۰,۰,۹,۰	۰,۰,۸,۰	۰,۰,۷,۰	۰,۰,۶,۰	۰,۰,۴,۰	۰,۰,۳,۰	۰,۰,۵,۰	۰,۰,۳,۰	۰,۰,۳,۰	۰,۰,۳,۰
Total	۰,۰,۲,۳	۰,۰,۵,۳	۰,۰,۲,۳	۹۹,۷,۲	۹۹,۸,۲	۹۹,۹,۲	۹۹,۶,۲	۹۹,۱,۲	۰,۰,۹,۳	۹۹,۲

جدول ۴ نتایج تجزیه ترکیب شیمیابی کانی پیروکسن در نمونه های الیوین گابریوی جنوب آزادشهر به روش EPMA

SAMPLE	Q-14-1	Q-14-2	Q-14-3	Q-14-4	Q-14-5	Q-14-6	Q-14-7	Q-14-8	Q-14-9
SiO ₂	۷۵۴۸	۶۵۰	۱۵۱	-۱۴۷	۸۸۴۶	-۰۸۴۸	۰۷۴۷	۶۸۴۸	۸۶۴۶
TiO ₂	۴۱۱	۱۱	۹۵۰	-۰۶۲	۱۷۲	۵۴۱	۸۷۱	۴۹۱	۱۶۲
Al ₂ O ₃	۶۶۵	۷۳۳	۲۶۳	۶۷۶	۸۴۶	۶۹۵	۴۵۶	۸۵۵	۰۹۷
Cr ₂ O ₃	۹۲۰	۲۹۰	۵۳۰	۴۹۰	۴۷۰	۷۷۰	۵۵۰	۸۴۰	۳۵۰
FeO*	۸۶	۴۷	۲۱۶	۴۳۷	۵۷	۶۶	۴۹۷	۷۶۶	۷۳۷
MnO	۱۹۰	۲۰	۱۶۰	-۰۸۰	۱۳۰	۱۴۰	۱۳۰	۱۱۰	۱۰
NiO	-۳۰	-۰۱۰	-۰۲۰	-۰۲۰	-۰۳۰	-۰۴۰	-۰۲۰	-۰۵۰	-
MgO	۳۳۱۴	۶۱۱۵	۹۹۱۵	۳۷۱۳	۳۲۱۳	۳۱۴	۶۸۱۳	۳۹۱۴	۳۸۱۳
CaO	۳۹۰	۶۷۱۹	۲۲۰	۷۷۲۰	۴۹۲۰	۴۹۲۰	۴۲۲۰	-۳۲۰	۳۲۰
Na ₂ O	۷۹۰	۴۳۰	۴۳۰	۵۳۰	۵۵۰	۵۵۰	۵۳۰	۵۷۰	۵۷۰
K ₂ O	-	-	-	-۰۱۰	-۰۱۰	-۰۱۰	-	-۰۱۰	-۰۱۰
Total	۹۴۹۸	-۰۴۹۹	۳۵۹۹	۲۴۹۸	۳۹۹۸	۲۲۹۸	۷۲۹۸	۷۱۹۸	۶۵۹۸
Mg#	۷۹۰	۷۹۰	۸۱۰	۷۶۰	۷۶۰	۷۹۰	۷۶۰	۷۹۰	۷۶۰
Cr#	۱۰	-۰۵۰	۱۰	-۰۵۰	-۰۴۰	-۰۸۰	-۰۵۰	-۰۹۰	-۰۴۰
En	۴۱۰	۴۶۰	۴۷۰	۴۱۰	۴۱۰	۴۴۰	۴۲۰	۴۴۰	۴۱۰
Fs	۱۲۰	۱۲۰	۱۱۰	۱۳۰	۱۳۰	۱۱۰	۱۳۰	۱۲۰	۱۳۰
Wo	۴۵۰	۴۲۰	۴۲۰	۴۶۰	۴۶۰	۴۵۰	۴۵۰	۴۴۰	۴۵۰
O	۶	۶	۶	۶	۶	۶	۶	۶	۶
Si	۸۷۵۱	۸۸۶۱	۸۹۶۱	۸۷۱۱	۷۷۶۱	۸۱۵۱	۷۹۳۱	۸۷۴۱	۷۷۱
Ti	-۴۰	-۰۳۱۰	-۰۲۷۰	-۰۵۹۰	-۰۴۷۰	-۰۴۴۰	-۰۵۳۰	-۰۴۲۰	-۰۶۱۰
AlIV	۱۷۵۰	۱۱۲۰	۱۰۴۰	۲۱۹۰	۲۲۵۰	۱۸۵۰	۲۰۷۰	۱۷۶۰	۲۳۰
AlVI	-۷۵۰	-۰۵۱۰	-۰۳۹۰	-۰۷۹۰	-۰۸۱۰	-۰۶۸۰	-۰۷۹۰	-۰۸۲۰	-۰۸۰
Cr	-۷۲۰	-۰۸۰	-۰۱۶۰	-۰۱۵۰	-۰۱۴۰	-۰۲۳۰	-۰۱۶۰	-۰۲۵۰	-۰۱۴۰
Fe*	۲۱۲۰	۲۳۱۰	۲۰۸۰	۲۲۵۰	۲۲۷۰	۲۰۸۰	۲۲۶۰	۲۱۲۰	۲۲۴۰
Mn	-۰۶۰	-۰۶۰	-۰۵۰	-۰۲۰	-۰۴۰	-۰۴۰	-۰۴۰	-۰۳۰	-۰۳۰
Mg	-۸۰	۸۶۱۰	۸۸۴۰	۷۵۲۰	۷۵۲۰	۸۰۵۰	۷۶۸۰	۸۰۴۰	۷۵۲۰
Ca	۸۱۸۰	۷۸۶۰	۸۰۳۰	۸۱۱۰	۸۱۱۰	۸۲۹۰	۸۲۴۰	۸۰۴۰	۸۲۲۰
Na	-۳۵۰	-۰۳۱۰	-۰۳۱۰	-۰۳۹۰	-۰۴۱۰	-۰۴۰	-۰۳۹۰	-۰۴۰	-۰۴۰
K	-	-	-	-۰۰۱۰	-۰۰۱۰	-۰۰۱۰	-	-	-
Ni	-۰۱۰	-	-۰۰۱۰	-۰۰۱۰	-۰۰۱۰	-۰۰۱۰	-	-۰۰۲۰	-
Total	-۱۴۴	-۰۱۱۴	-۰۱۲۴	-۰۲۳۴	-۰۲۳۴	-۰۲۳۴	-۰۲۱۴	-۰۱۴	-۰۲۴۴

ادامه جدول ۴

SAMPLE	Q-12-1	Q-12-2	Q-15-1	Q-15-2	Q-15-3	Q-15-4	Q-15-5	Q-15-6
SiO ₂	۷۹۴۸	-۰۴۹۹	۹۸۴۶	۵۳۴۸	۲۲۵۰	۷۹۴۹	۴۲۵	۵۳۵
TiO ₂	۷۱	۴۵۱	۳۲	۷۹۱	۳۶۱	۴۱	۲۵۱	-۹۱
Al ₂ O ₃	۴۵۵	۹۶۴	۶۵۶	۶۷۵	۶۲۳	۳۴۴	۷۹۳	۳۳
Cr ₂ O ₃	۵۳۰	۶۱۰	۴۷۰	۶۴۰	-۰۵۰	۱۹۰	۲۹۰	۳۸۰
FeO*	۵۱۷	۲۱۷	۹۲۷	۱۹۷	۵۹۷	۳۴۷	-۳۷	۶۱۶
MnO	۱۲۰	۱۲۰	۱۰	۱۴۰	۱۵۰	۱۵۰	۱۰	۱۰
NiO	-۰۲۰	-۰۱۰	-۰۵۰	-۰۳۰	-۰۱۰	-۰۵۰	-۰۳۰	-۰۲۰
MgO	۶۹۱۴	۶۱۴	-۰۲۱۲	۹۴۱۳	۶۸۱۴	۴۵۱۴	۷۷۱۴	۷۸۱۵
CaO	۱۳۲۰	۴۹۰	۵۹۲۱	۷۵۲۱	۶۶۲۱	۵۸۲۱	۵۳۲۱	۷۳۲۱
Na ₂ O	۳۷۰	۳۶۰	۴۴۰	۴۰	۴۲۰	۴۳۰	۳۶۰	۳۸۰
K ₂ O	-	-	-	-	-	-	-۰۱۰	-
Total	۳۹۹	۸۶۹۸	۵۲۹۹	-۰۶۱۰۰	۷۸۹۹	۶۹۹	۵۵۹۹	۴۲۹۹
Mg#	۷۸۰	۷۸۰	۷۵۰	۷۸۰	۷۸۰	۷۸۰	۷۹۰	۷۸۰
Cr#	-۰۶۰	-۰۸۰	-۰۵۰	-۰۷۰	-۰۱۰	-۰۳۰	-۰۵۰	-۰۷۰
En	۴۴۰	۴۴۰	۳۹۰	۴۱۰	۴۳۰	۴۲۰	۴۳۰	۴۴۰
Fs	۱۲۰	۱۲۰	۱۲۰	۱۲۰	۱۲۰	۱۲۰	۱۲۰	۱۱۰
Wo	۴۳۰	۴۴۰	۴۷۰	۴۷۰	۴۵۰	۴۶۰	۴۵۰	۴۵۰
O	۶	۶	۶	۶	۶	۶	۶	۶
Si	۸۲۲۱	۸۳۹۱	۷۶۸۱	۸۰۲۱	۸۰۲۱	۸۰۲۱	۸۰۲۱	۸۰۲۱
Ti	-۰۴۸۰	-۰۴۱۰	-۰۶۰	-۰۵۰	-۰۴۰	-۰۳۸۰	-۰۳۹۰	-۰۳۱۰
AlIV	۱۷۷۰	۱۶۱۰	۲۲۲۰	۱۹۳۰	۱۲۸۰	۱۴۲۰	۱۲۲۰	۱۱۸۰
AlVI	-۶۳۰	-۰۵۰	-۰۶۰	-۰۵۰	-۰۲۰	-۰۴۰	-۰۴۰	-۰۲۸۰
Cr	-۱۶۰	-۰۱۰	-۰۱۰	-۰۱۰	-۰۱۰	-۰۶۰	-۰۴۰	-۰۱۰
Fe*	۲۲۵۰	۲۲۶۰	۲۴۹۰	۲۲۴۰	۲۲۷۰	۲۲۹۰	۲۱۹۰	۲۰۸۰
Mn	-۰۴۰	-۰۴۰	-۰۴۰	-۰۴۰	-۰۴۰	-۰۴۰	-۰۴۰	-۰۴۰
Mg	۸۱۸۰	۸۱۶۰	۷۳۰	۷۷۳۰	۸۱۶۰	۸۰۴۰	۸۲۰	۸۴۹۰
Ca	۸۰۵۰	۸۰۳۰	۸۰۲۰	۸۰۲۰	۸۰۲۰	۸۰۲۰	۸۰۲۰	۸۰۲۰
Na	-۰۲۶۰	-۰۲۶۰	-۰۲۲۰	-۰۲۹۰	-۰۲۹۰	-۰۲۱۰	-۰۲۶۰	-۰۲۸۰
K	-	-	-	-	-	-	-	-
Ni	-۰۰۱۰	-	-۰۰۱۰	-۰۰۱۰	-	-۰۰۱۰	-۰۰۱۰	-
Total	-۱۴۴	-۰۱۲۴	-۰۱۲۴	-۰۲۳۴	-۰۲۳۴	-۰۲۳۴	-۰۱۲۴	-۰۲۳۴

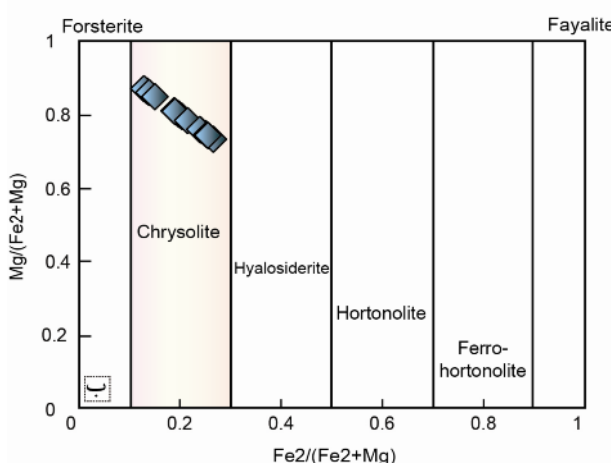
جدول ۵ نتایج تجزیه ترکیب شیمیایی کانی آمفیبول در دیوریت‌های قلیایی جنوب آزادشهر به روش EPMA

SAMP	Q-5-1	Q-5-2	Q-5-3	Q-5-4	Q-5-5	Q-7-1	Q-7-2	Q-7-3	Q-7-4	Q-7-5	Q-7-6	Q-7-7
SiO ₂	۲۹,۳۹	۹۳,۳۸	۱۱,۳۹	۱۲,۴۰	۱۹,۴۰	۶۲,۳۹	۶۲,۳۹	۵۹,۳۹	۲۶,۳۹	۳۵,۳۹	۹,۴۰	۱۲,۴۰
TiO ₂	۵۹,۵	۱۷,۶	۲۵,۶	۴۹,۱	۳۵,۱	۷۹,۴	۲۱,۵	۲۶,۵	۵۱,۵	۵۱,۵	۵۹,۴	۲۶,۴
Al ₂ O ₃	۵۳,۱۳	۷۲,۱۳	۹۳,۱۳	۰,۴,۱۲	۹۲,۱۱	۳۷,۱۳	۵۲,۱۳	۳۸,۱۳	۷۵,۱۳	۷۱,۱۳	۱۶,۱۳	۹۵,۱۲
Cr ₂ O ₃	۰,۵,۰	۰,۵,۰	۱۵,۰	۰,۴,۰	۰,۶,۰	۰,۶,۰	۰,۶,۰	۰,۶,۰	۰,۶,۰	۰,۶,۰	۰,۷,۰	۰,۶,۰
FeO*	۶۲,۱۰	۰,۶,۱۰	۰,۱,۱۰	۷۵,۱۶	۹۴,۱۶	۲۱,۱۱	۷۳,۱۰	۸۹,۱۰	۰,۲,۱۱	۷۷,۱۰	۲۴,۱۲	۲۷,۱۲
MnO	۱۲,۰	۱,۰	۱۱,۰	۲۹,۰	۳,۰	۱,۰	۱۲,۰	۱۲,۰	۱۱,۰	۱۴,۰	۱۵,۰	۱۴,۰
NiO												
MgO	۱۳,۱۲	۴۳,۱۲	۶۳,۱۲	۳۸,۱۰	۳۳,۱۰	۵۱,۱۲	۵۴,۱۲	۴۳,۱۲	۴۴,۱۲	۳۴,۱۲	۸۴,۱۱	۰,۱,۱۲
CaO	۸۳,۱۱	۰,۵,۱۲	۱۱,۱۲	۳۱,۱۱	۳۸,۱۱	۴۸,۱۱	۵۳,۱۱	۵۹,۱۱	۶,۱۱	۶۲,۱۱	۵,۱۱	۳۹,۱۱
Na ₂ O	۶۹,۲	۴۱,۲	۵۲	۹۱,۲	۸۹,۲	۶۱,۲	۵۲	۴۵,۲	۳۸,۲	۴۵,۲	۶۳,۲	۶۲,۲
K ₂ O	۰,۵,۱	۰,۴,۱	۰,۷,۱	۵۲,۱	۵۲,۱	۰,۱,۱	۰,۴,۱	۰,۳,۱	۰,۳,۱	۰,۳,۱	۰,۸,۱	۰,۷,۱
Total	۹,۹۶	۹۸,۹۶	۸۶,۹۷	۸۴,۹۶	۸۸,۹۶	۷۷,۹۶	۸۶,۹۶	۷۹,۹۶	۱۸,۹۷	۹۶,۹۶	۱۸,۹۸	۱۸,۹۶
Mg#	۶۷,۰	۶۹,۰	۶۹,۰	۵۲,۰	۵۲,۰	۶۷,۰	۶۸,۰	۶۷,۰	۶۷,۰	۶۷,۰	۶۳,۰	۶۴,۰
O	۲۲	۲۲	۲۲	۲۲	۲۲	۲۲	۲۲	۲۲	۲۲	۲۲	۲۲	۲۲
Si	۶۱,۵	۵۴,۵	۵۲,۵	۹۱,۵	۹۲,۵	۶۷,۵	۶۰,۵	۶۰,۵	۵۹,۵	۶۱,۵	۷۸,۵	۷۵,۵
Ti	۶,۰	۶۶,۰	۶۶,۰	۱۷,۰	۱۵,۰	۵۲,۰	۵۶,۰	۵۶,۰	۵۹,۰	۵۹,۰	۴۹,۰	۴۶,۰
Al (iv)	۲۸,۲	۳۱,۲	۳۵,۲	۰,۳,۲	۰,۱,۲	۲۵,۲	۲۸,۲	۲۵,۲	۳۱,۲	۳۱,۲	۱۶,۲	۱۸,۲
Al (vi)	•	•	•	•	•	•	•	•	•	•	•	•
Cr	۰,۱,۰	۰,۱,۰	۰,۲,۰	•	۰,۱,۰	۰,۱,۰	۰,۱,۰	۰,۱,۰	۰,۱,۰	۰,۱,۰	۰,۱,۰	۰,۱,۰
Fe*	۲۷,۱	۲,۱	۱۸,۱	۰,۶,۲	۰,۹,۲	۳۴,۱	۲۸,۱	۳,۱	۳۱,۱	۲۸,۱	۴۵,۱	۴۷,۱
Mn	۰,۱,۰	۰,۱,۰	۰,۱,۰	۰,۴,۰	۰,۴,۰	۰,۱,۰	۰,۱,۰	۰,۱,۰	۰,۲,۰	۰,۲,۰	۰,۲,۰	۰,۲,۰
Mg	۵۸,۲	۶۴,۲	۶۶,۲	۲۸,۲	۲۷,۲	۶۷,۲	۶۶,۲	۶۵,۲	۶۴,۲	۶۲,۲	۴۹,۲	۵۷,۲
Ca	۸۱,۱	۸۴,۱	۸۳,۱	۷۸,۱	۸,۱	۷۸,۱	۷۸,۱	۷۷,۱	۷۷,۱	۷۷,۱	۷۴,۱	۷۵,۱
Na	۷۴,۰	۶۷,۰	۶۸,۰	۸۳,۰	۸۳,۰	۷۲,۰	۶۹,۰	۶۸,۰	۶۶,۰	۶۸,۰	۷۲,۰	۷۳,۰
K	۱۹,۰	۱۹,۰	۱۹,۰	۲۹,۰	۲۹,۰	۱۸,۰	۱۸,۰	۱۹,۰	۱۹,۰	۱۹,۰	۲,۰	۱۸,۰
Total	۱,۱۵	۰,۸,۱۵	۰,۸,۱۵	۴۴,۱۵	۴۵,۱۵	۱۳,۱۵	۰,۸,۱۵	۰,۸,۱۵	۰,۷,۱۵	۰,۷,۱۵	۰,۸,۱۵	۱۴,۱۵

ادامه جدول ۵

SAMP	Q-7-8	Q-7-9	Q-7-10	Q-7-11	Q-7-12	Q-7-13	Q-7-14	Q-7-15	Q-7-16	Q-7-17	Q-7-18	Q-7-19
SiO ₂	۶۸,۳۹	۲۱,۳۹	۱۸,۳۹	۰,۹,۴۰	۵۱,۳۹	۰,۶,۴۰	۲۴,۳۹	۱۱,۳۹	۶۵,۳۸	۱۳,۳۹	۱۲,۳۹	۲۵,۳۹
TiO ₂	۱۶,۵	۵۵,۵	۴۳,۴	۵۸,۱۳	۹۶,۴	۲,۴	۷۶,۴	۹۷,۴	۰,۳,۵	۰,۲,۵	۰,۴,۵	۰,۲,۵
Al ₂ O ₃	۴۳,۱۳	۳۷,۱۳	۲۱,۱۳	۸۷,۱۲	۵۵,۱۳	۹۱,۱۲	۴۶,۱۳	۵۵,۱۳	۳۶,۱۳	۵۷,۱۳	۴۴,۱۳	۴۴,۱۳
Cr ₂ O ₃	۰,۴,۰	۰,۷,۰	۰,۴,۰	۰,۵,۰	۰,۳,۰	۰,۴,۰	۰,۲,۰	۰,۲,۰	۰,۸,۰	۰,۴,۰	۰,۴,۰	۰,۵,۰
FeO*	۲۳,۱۱	۵۹,۱۰	۸۸,۱۱	۲۷,۱۳	۷۵,۱۱	۴۲,۱۲	۸۴,۱۱	۶۶,۱۱	۳۱,۱۲	۶۷,۱۱	۶۶,۱۱	۵۹,۱۱
MnO	۱۸,۰	۱۱,۰	۱۳,۰	۲۱,۰	۱۷,۰	۱۸,۰	۱۹,۰	۱۲,۰	۱۲,۰	۱۵,۰	۱۴,۰	۰,۷,۰
NiO												
MgO	۴۸,۱۲	۳۹,۱۲	۸۹,۱۱	۱۹,۱۲	۴۲,۱۲	۹۵,۱۱	۹۴,۱۱	۲۴,۱۲	۸۷,۱۱	۳۲,۱۲	۱۳,۱۲	۱۶,۱۲
CaO	۵۹,۱۱	۷۴,۱۱	۲۸,۱۱	۱۱,۱۱	۴۴,۱۱	۳۴,۱۱	۴,۱۱	۴۴,۱۱	۴۸,۱۱	۴۳,۱۱	۴۹,۱۱	۳۷,۱۱
Na ₂ O	۵۲,۲	۴۴,۲	۸۴,۲	۸۵,۲	۵۲,۲	۶۴,۲	۵۵,۲	۴۹,۲	۴۶,۲	۵۸,۲	۵۳,۲	۵۷,۲
K ₂ O	۰,۳,۱	۰,۴,۱	۰,۲,۱	۰,۵,۱	۰,۴,۱	۰,۲,۱	۰,۵,۱	۱	۰,۲,۱	۰,۴,۱	۰,۲,۱	۱
Total	۳۳,۹۷	۵۲,۹۶	۵۴,۹۶	۰,۶,۹۷	۴۴,۹۷	۷۶,۹۶	۴۶,۹۶	۶۱,۹۶	۲۶,۹۶	۹۴,۹۶	۵۶,۹۶	۵۱,۹۶
Mg#	۶۶,۰	۶۸,۰	۶۴,۰	۶۲,۰	۶۵,۰	۶۲,۰	۶۴,۰	۶۵,۰	۶۳,۰	۶۵,۰	۶۵,۰	۶۵,۰
O	۲۲	۲۲	۲۲	۲۲	۲۲	۲۲	۲۲	۲۲	۲۲	۲۲	۲۲	۲۲
Si	۶۴,۵	۶۲,۵	۷۲,۵	۷۶,۵	۶۳,۵	۷۶,۵	۶۵,۵	۶۲,۵	۵۹,۵	۶۱,۵	۶۳,۵	۶۴,۵
Ti	۵۵,۰	۶,۰	۴۸,۰	۳۹,۰	۵۳,۰	۴۵,۰	۵۲,۰	۵۴,۰	۵۵,۰	۵۴,۰	۵۵,۰	۵۴,۰
Al (iv)	۲۶,۲	۲۵,۲	۲۲,۲	۱۷,۲	۲۸,۲	۱۷,۲	۲۷,۲	۳,۲	۲۶,۲	۳,۲	۲۷,۲	۲۸,۲
Al (vi)	•	•	•	•	•	•	•	•	•	•	•	•
Cr	•	۰,۱,۰	•	۰,۱,۰	•	۰,۱,۰	•	•	۰,۱,۰	•	•	۰,۱,۰
Fe*	۳۴,۱	۲۷,۱	۴۳,۱	۶,۱	۴,۱	۴۹,۱	۴۳,۱	۴,۱	۴۹,۱	۴,۱	۴,۱	۳۹,۱
Mn	۰,۲,۰	۰,۱,۰	۰,۲,۰	۰,۳,۰	۰,۲,۰	۰,۲,۰	۰,۲,۰	۰,۲,۰	۰,۱,۰	۰,۲,۰	۰,۲,۰	۰,۱,۰
Mg	۶۵,۲	۶۵,۲	۵۵,۲	۶۱,۲	۶۴,۲	۵۶,۲	۵۶,۲	۶۲,۲	۵۶,۲	۶۳,۲	۶۳,۲	۶۳,۲
Ca	۷۷,۱	۸,۱	۷۴,۱	۷۱,۱	۷۵,۱	۷۵,۱	۷۶,۱	۷۶,۱	۷۸,۱	۷۸,۱	۷۸,۱	۷۸,۱
Na	۶۹,۰	۶۸,۰	۷۹,۰	۷۴,۰	۷,۰	۷۴,۰	۷۱,۰	۶۹,۰	۶۹,۰	۷۲,۰	۷۲,۰	۷۲,۰
K	۱۹,۰	۱۹,۰	۱۹,۰	۱۹,۰	۱۹,۰	۱۹,۰	۱۹,۰	۱۸,۰	۱۹,۰	۱۹,۰	۱۹,۰	۱۸,۰
Total	۱,۱۵	۰,۸,۱۵	۱۶,۱۵	۲۱,۱۵	۱۳,۱۵	۱۵,۱۵	۱۳,۱۵	۱۳,۱۵	۱۵,۱۵	۱۳,۱۵	۱۲,۱۵	۱۲,۱۵

های EPMA، مقدار اکسیدهای Ti و Cr در کلینوپیروکسن-های جنوب آزادشهر به ترتیب 0.95 ± 0.19 و 2.30 ± 0.92 درصد وزنی است. تغییرات ترکیبی کلینوپیروکسن‌ها بر اساس مقدار مؤلفه‌های $\text{En}_{(39-47)}$, $\text{Fs}_{(11-13)}$ و $\text{Wo}_{(43-47)}$ در نمودار نامگذاری سه‌تایی ولستونیت-انستاتیت-فروآذرین لایه‌یت [۲۷] نشان دهنده ترکیب‌های دیپسید و اوژیت هستند. (شکل ۶ الف). داده‌های تجزیه نقطه‌ای کانی‌های سازنده سنگ، افزون بر تعیین نوع کانی و مقدار عناصر تشکیل دهنده آنها برای رد-بندی دقیق ترکیب آن، کاربردهای دیگری مانند تعیین شرایط فیزیکوشیمیایی و یا محیط زمین‌ساختی تشکیل سنگ‌ها نیز دارند. بر اساس نتایج یک پژوهش [۲۸]، ویژگی‌های سنگ-شناسی و شیمی کانی‌هایی مانند کلینوپیروکسن، به احتمال بسیار ارتباط مستقیمی با موقعیت زمین‌ساختی آنها دارد. همچنین، نامتحرك بودن Ti در کلینوپیروکسن‌ها [۲۹] موجب شده است تا از آن به عنوان ابزار تشخیصی مفید در سنگ‌زایی و تعیین ماهیت ماقمای تشکیل دهنده استفاده شود. بدیهی است که بالا بودن تمرکز این عنصر در سنگ یا کانی نشان دهنده طبیعت قلیایی و برآمدن آن از یک خاستگاه گوشته‌ای غنی شده است. مقدار تمرکز عناصر نامتحركی مانند Ti و Cr می‌توانند نماینده ماهیت اولیه ماقما باشند [۲۸، ۳۰]. چنانکه در نمودار $\text{Ti} + \text{Cr}$ نسبت به Ca دیده می‌شود [۲۸]، به علت بالا بودن مقدار Ti، کلینوپیروکسن‌های موجود در سنگ‌های جنوب آزادشهر در میدان بازالت‌های غیرکوهزایی و به عبارت دیگر درون ورقه‌ای قرار دارند (شکل ۶ ب).

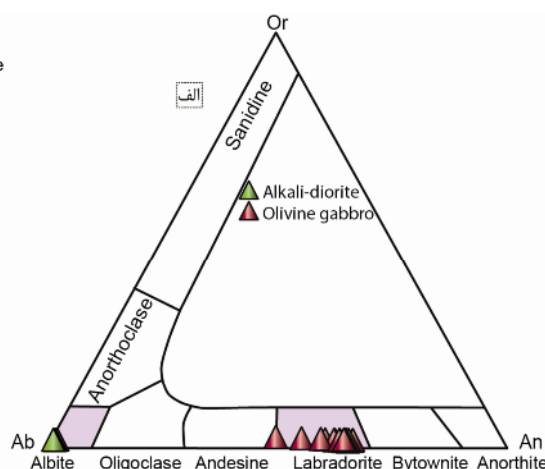


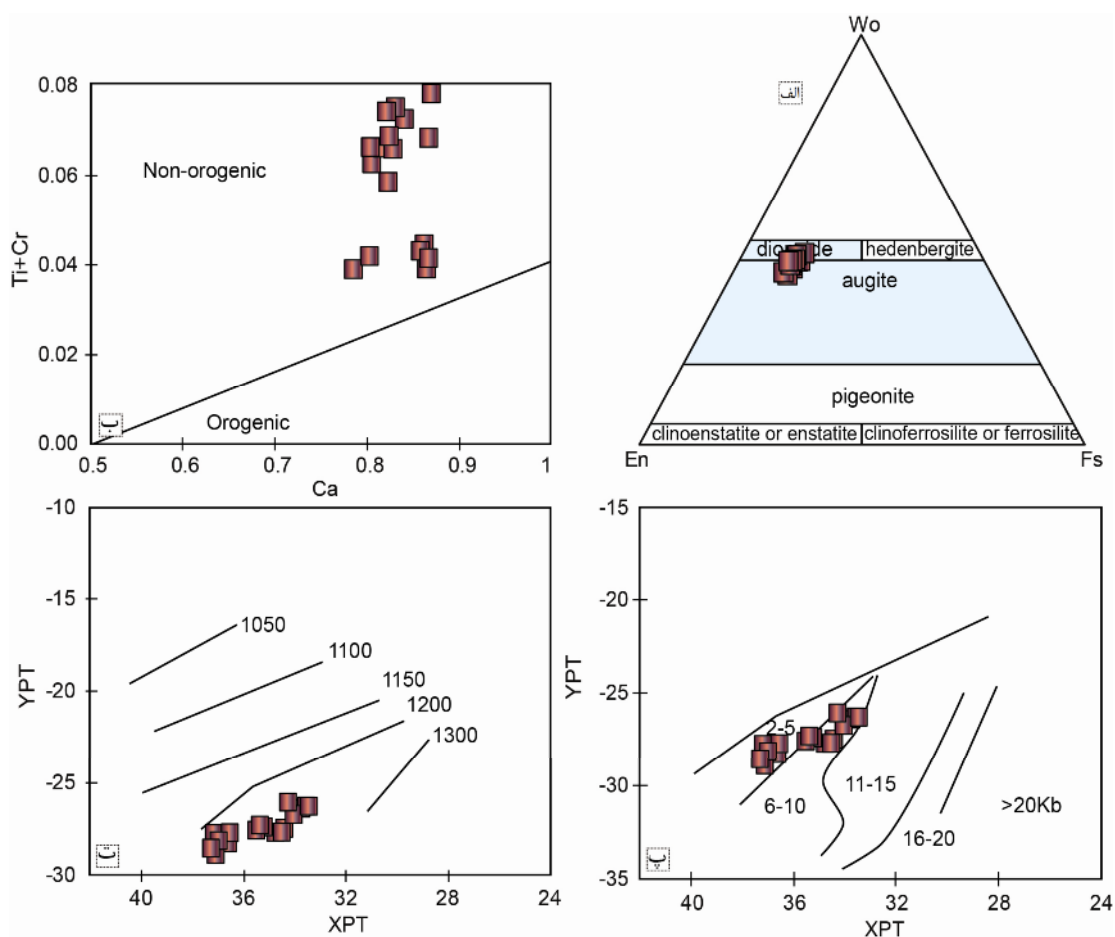
شکل ۵ الف- نمودار سه‌تایی آلیت-آورتیت-ارتونکلاز برای رده‌بندی فلدسپارها در دیوریت‌های قلیایی و الیوین‌گابروهای جنوب آزادشهر [۲۶] و ب- نمودار $\text{Mg}/(\text{Fe}_2+\text{Mg})$ نسبت به $\text{Fe}_2/(\text{Fe}_2+\text{Mg})$ برای نامگذاری الیوین‌ها در الیوین‌گابروها.

پلازیوکلاز: تقریباً همه پلازیوکلازها در نمونه‌های مورد بررسی بدون منطقه‌بندی ترکیبی هستند و تنها ماکل کارلسbad و یا چندریخت و گاهی آلبیتی نشان می‌دهند. داده‌های به دست آمده از تجزیه EPMA پلازیوکلاز (۲۸ نقطه) در جدول ۲ نشان می‌دهند که پلازیوکلازهای موجود در الیوین‌گابروها دارای مقدار آنورتیت ۵۵،۳۳ تا ۶۶،۶۳ درصد بوده و مقدار آنورتیت دیوریت‌های قلیایی نیز از ۱۱،۱ تا ۱۵،۴ درصد در تغییر است. از این رو، در نمودار سه‌تایی آلبیت-آورتیت-ارتونکلاز (Ab-An-Or) برای رد-بندی فلدسپارها [۲۶]، پلازیوکلازهای الیوین‌گابروها در گستره لابرادوریت واقع است و ترکیب این کانی در نمونه‌های دیوریتی قلیایی با محتوای آلبیت مشخص می‌شوند (شکل ۵ الف).

الیوین: مقدار دگرسانی الیوین‌های موجود در الیوین‌گابروها بسیار ناچیز است و اغلب آنها به صورت سالم و نیمه شکل دار تا خودشکل هستند. در مجموع، تعداد ۲۱ نقطه از کانی الیوین برای تجزیه انتخاب شد (جدول ۳). بر اساس داده‌های تجزیه نقطه‌ای، مقدار اکسیدهای FeO و MgO در الیوین‌های الیوین‌گابروهای جنوب آزادشهر به ترتیب بین ۱۳،۰۲ تا ۲۴،۲۰ و ۳۷ تا ۴۶،۶۴ درصد وزنی متغیر است و مقدار مؤلفه فورستریت نیز ۷۳،۱۵ تا ۸۶،۸۸ درصد محاسبه شد. از این رو، الیوین‌های مورد بررسی در نمودار رد-بندی شیمیایی این کانی، در گستره کربیزولیت قرار دارند (شکل ۵ ب).

کلینوپیروکسن: محتوای شیمی کلینوپیروکسن در الیوین-گابروهای مورد بررسی در جدول ۴ آورده شده‌اند. بر پایه داده-





شکل ۶ موقعیت کلینوپیروکسن‌ها در نمونه‌های الیوین‌گلبروی جنوب آزادشهر در نمودارهای الف- تغییرات ترکیب و رده‌بندی پیروکسن‌ها [۲۷]، ب- نسبت به Ca برای تعیین ماهیت غیرکوهزایی و کوهزایی کلینوپیروکسن‌ها [۲۸]، پ- Y_{PT} برای تعیین تغییرات فشار تشکیل کلینوپیروکسن‌ها [۳۱] و ت- Y_{PT} برای تعیین تغییرات دمای تشکیل کلینوپیروکسن‌ها [۳۱].

با محاسبه و رسم مقادیر Y_{PT} و X_{PT} برای کلینوپیروکسن‌های جنوب آزادشهر، فشار و دمای تبلور این کانی‌ها به ترتیب حدود ۲ تا ۱۱ کیلوبار و ۱۲۰۰ تا ۱۲۵۰ درجه سانتیگراد برآورد می‌شود.

در مagmaهای مافیک، اغلب کلینوپیروکسن‌ها در فشارهای بالا (حدود ۱۰ کیلوبار) می‌توانند مانند یک فاز مذاب عمل کنند، در نتیجه شیمی آنها نیز می‌تواند بازتاب کننده شرایط تبلور سنگ باشد [۳۲-۳۴]. افزون بر شرایط دما و فشار تبلور، از دیگر کاربردهای داده‌های EPMA، دستیابی به گریزندگی اکسیژن محیط تشکیل پیروکسن است. به عقیده شوایتر و همکاران [۳۴]، مقدار Fe³⁺ در این کانی تابع گریزندگی Al^{IV} + Na + Al^{VI} + 2Ti + Cr می‌توان آن را بررسی کرد. براساس

به اعتقاد سوسو [۳۱]، ترکیب شیمیایی کلینوپیروکسن می‌تواند بازتابی از عمق و دمای تبلور سنگ میزان آن باشد. بر این اساس و با استفاده از داده‌های تجربی، نمودارهای مفیدی برای تفکیک شرایط مختلف دما و فشار تبلور کلینوپیروکسن‌ها ارائه شده‌است. مؤلفه‌های چند متغیره این نمودارها شامل مقادیر Y_{PT} و X_{PT} هستند [۳۱] :

$$X_{PT} = 0.446\text{SiO}_2 + 0.187\text{TiO}_2 - 0.404\text{Al}_2\text{O}_3 + 0.346\text{FeO}_T + 0.052\text{MnO} + 0.309\text{MgO} + 0.431\text{CaO} - 0.446\text{Na}_2\text{O} \quad (1)$$

$$Y_{PT} = -0.369\text{SiO}_2 + 0.535\text{TiO}_2 - 0.317\text{Al}_2\text{O}_3 + 0.323\text{FeO}_T + 0.235\text{MnO} - 0.516\text{MgO} - 0.167\text{CaO} - 0.153\text{Na}_2\text{O} \quad (2)$$

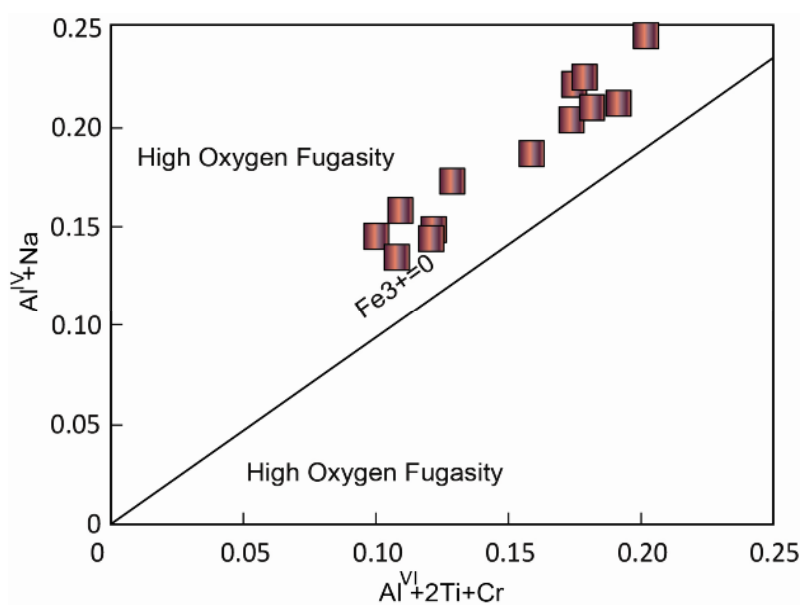
نواحی کششی استقرار می‌یابند، ایفا می‌کنند [۳۶]. افزون بر آمفیبول‌های ماگمایی که ناشی از تبلور مذاب هستند، برخی آمفیبول‌ها نیز نتیجه فرایندهای ثانویه و دگرسانی کانی‌های مافیک مانند کلینوپیروکسن هستند. از راههای تشخیص آذرین، دگرگونی و یا دگرسانی بودن آمفیبول‌ها، می‌توان به سنگنگاری و نیز بررسی ترکیب شیمیایی کانی اشاره نمود. لیک [۳۷] با بررسی شیمی تعداد بیشماری از انواع آمفیبول برپایه مجموع مقادیر عناصر Ca، Na و K، آمفیبول‌های آذرین را از آمفیبول‌های دگرگونی تفکیک نمود. چنان که در نمودار تغییرات $\text{Ca}+\text{Na}+\text{K}$ در شکل ۸ ب دیده می‌شود، همه آمفیبول‌های دیوریت‌های قلیایی جنوب آزادشهر در گستره آمفیبول‌های آذرین قرار دارند.

به باور برخی از پژوهشگران [۳۸، ۳۹] با استفاده از شیمی کانی‌هایی چون آمفیبول و یا بیوتیت، می‌توان به ماهیت خاستگاه سنگ پی برد. مقدار میانگین TiO_2 و Al_2O_3 در آمفیبول‌های دیوریت‌های قلیایی به ترتیب ۰/۷۴ و ۱۳/۳۰ درصد است. از اینرو در نمودار TiO_2 نسبت به Al_2O_3 که مشخص کننده گوشهای و یا پوسته‌ای بودن خاستگاه کانی آمفیبول است [۳۸]، نمونه‌های مورد بررسی در گستره سنگ‌های با خاستگاه گوشهای قرار دارند (شکل ۸ پ).

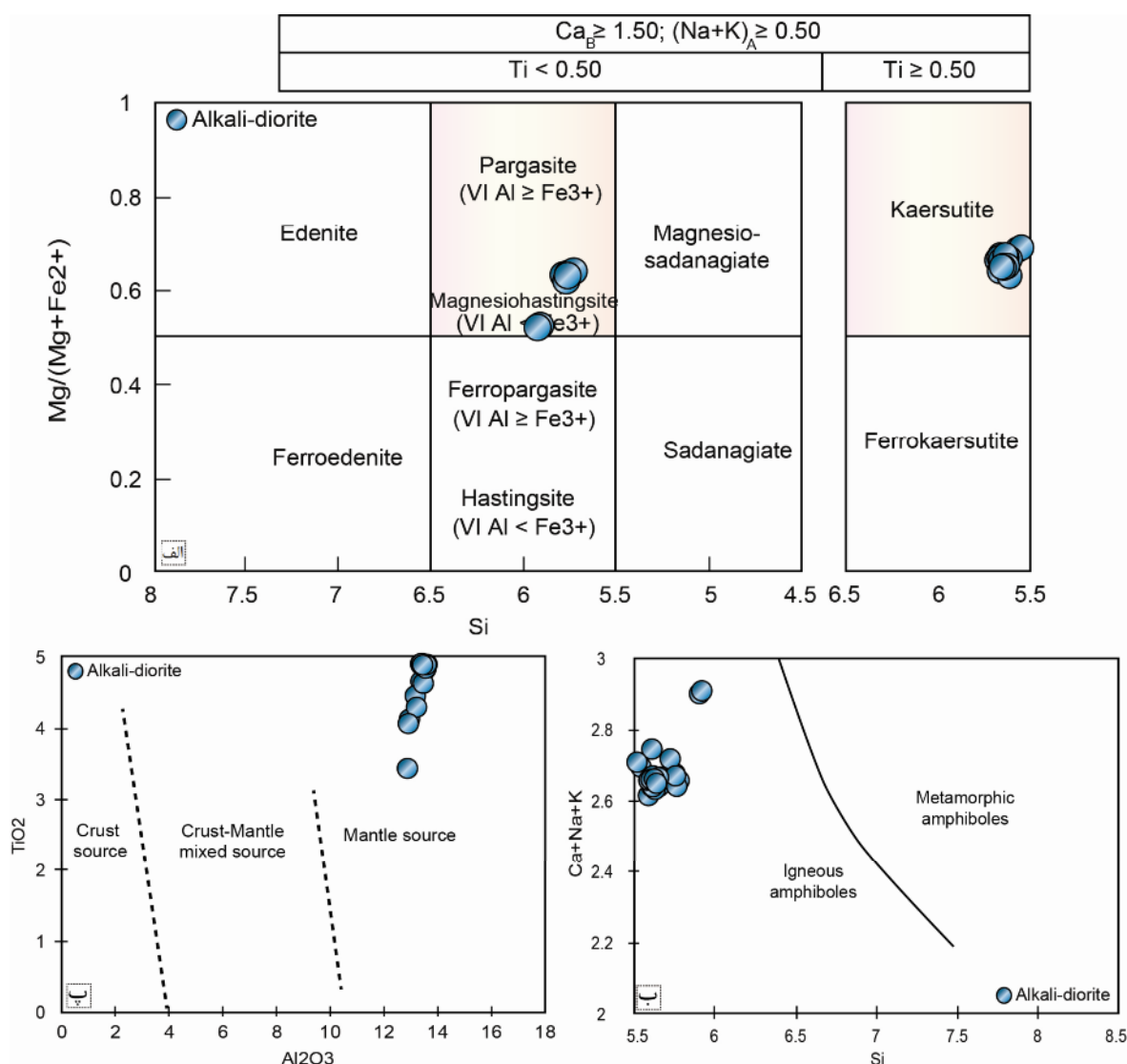
شکل ۷، می‌توان گفت که به احتمال بسیار کلینوپیروکسن‌ها در شرایط گریزندگی اکسیژن بالا تشکیل شده‌اند.

آمفیبول: آمفیبول‌ها در دیوریت‌های قلیایی اغلب شکل دار هستند و تقریباً ۵۰ درصد حجم کانی‌های تشکیل دهنده سنگ را به خود اختصاص داده‌اند. آمفیبول‌ها در دیوریت‌های قلیایی به صورت کانی اصلی سنگ ساز متبلور شده‌اند. به طور کلی ۲۴ نقطه از آمفیبول‌های دیوریت‌های قلیایی مورد تجزیه قرار گرفتند. مقدار مرکز اکسیدها و کاتیون‌های محاسبه شده در جدول ۵ آورده شده‌اند. مقدار کلسیم محاسبه شده (۱/۷۱ تا ۱/۸۴ a.p.f.u)، نشان دهنده ماهیت کلسیمی آمفیبول‌های دیوریت‌های قلیایی بوده، در نتیجه در نمودار رده‌بندی آمفیبول‌ها برپایه مقدار Ti موجود در آنها که از پارامترهای اصلی تعیین کننده [۳۵]، نمونه‌ها در گستره‌های کرسوتیت (Magnesiohastingsite) و مگنزیوہاستینگزیت (Kaersutite) قرار دارند (شکل ۸ الف).

حضور آمفیبول‌های نوع کرسوتیتی در میان کانی‌های اصلی سنگ ساز دارای اهمیت ویژه‌ای در تعیین ترکیب مذاب بخشی در ناحیه خاستگاه است. همواره آمفیبول‌ها نقش مهمی به عنوان فرایند جدایش مذاب‌هایی که در قاعده پوسته انباشته می‌شوند (Underplating)، از میان پوسته صعود می‌کنند و در



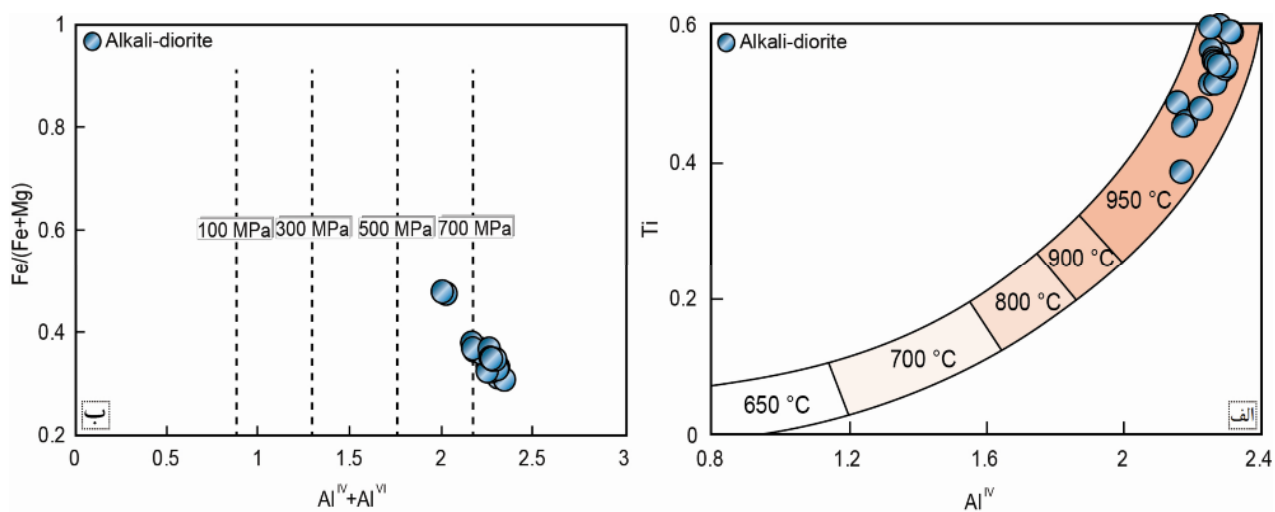
شکل ۷ موقعیت کلینوپیروکسن‌های نمونه‌های آذرین جنوب آزادشهر در نمودار تغییرات گریزندگی اکسیژن براساس $\text{Al}^{\text{IV}} + \text{Na}$ نسبت به $\text{Al}^{\text{VI}} + 2\text{Ti} + \text{Cr}$ در پیروکسن‌ها [۳۴].



شکل ۸ موقعیت آمفیبول‌های نمونه‌های آذرین جنوب آزادشهر در الف-نمودار رده بندی آمفیبول‌های کلسیمی در دیوریت‌های قلیایی [۳۵]، ب-نمودار تغییرات $\text{Ca}+\text{Na}+\text{K}$ برای تعیین آذرین و دگرگونی بودن آمفیبول‌ها [۳۷] و پ-نمودار TiO_2 نسبت به Al_2O_3 برای تعیین خاستگاه آمفیبول‌های جنوب آزادشهر [۳۸].

کلسیمی با افزایش دما افزایش یافته و با افزایش فشار کاهش می‌یابد [۴۳]. بر این اساس، با به کارگیری مقدار عناصر Al و $\text{Fe}+\text{Mg}$ و رسم آنها در نمودارهای دماسنگی [۴۲] و فشارسنگی [۴۴]، می‌توان دما و فشار تبلور احتمالی کانی آمفیبول در دیوریت‌های قلیایی را برآورد کرد. چنان که در شکل ۹ نیز دیده می‌شود، دمای تبلور آمفیبول‌های منطقه جنوب آزادشهر ۹۵۰ درجه سانتیگراد و فشار تشکیل آنها در گستره ۶۰۰ تا ۷۵۰ مگاپاسکال (معادل ۶ تا ۷.۵ کیلوبار) تعیین شده است.

همانند کلینوپیروکسن‌ها، با استفاده از محتوای شیمی کانی بدست آمده از تجزیه EPMA، می‌توان دما و فشار تشکیل آمفیبول‌ها را بررسی کرد. رفتار زمین شیمیایی عنصر Al در آمفیبول‌های کلسیمی طوری است که با افزایش دما جانشین $\text{Mg}+\text{Fe}$ (جایگاه هشت و جهی) و با افزایش فشار جانشین Si (جایگاه هشت و جهی) می‌شود [۴۲-۴۰]. در نتیجه، مقدار Al_2O_3 با افزایش دما و فشار افزایش می‌یابد. این در حالی است که مقدار عنصر Ti ، به علت شعاع یونی بزرگتر آن نسبت به Al که در جایگاه هشت و جهی جایگزین نمی‌شود، در آمفیبول‌های



شکل ۹ الف- نمودار Ti نسبت به Al^{IV} برای تعیین دمای تبلور آمفیبول‌های کلسیمی در دیوریت‌های قلیایی [۴۲] و ب- نمودار تغییرات $\text{Fe}/(\text{Fe}+\text{Mg})$ نسبت به $\text{Al}^{\text{IV}} + \text{Al}^{\text{VI}}$ برای تعیین فشار تبلور احتمالی آمفیبول‌ها [۴۴].

مگنزوپیراستینگزیت (کلسیمی) و آلبیت مشخص می‌شوند. کلینوپیروکسن‌ها در الیوین گابروها دارای ماهیت قلیایی و غیرکوهزایی هستند بوده و در فشار حدود ۲ تا ۱۱ کیلوبار، دمای ۱۲۰۰ تا ۱۲۵۰ درجه سانتیگراد و گریزندگی اکسیژن بالا تشکیل شده‌اند. آمفیبول‌های مورد بررسی نیز از نوع آذرین بوده و دارای خاستگاه گوشته‌ای هستند. دمای تبلور آمفیبول‌ها نیز ۹۵۰ درجه سانتیگراد و فشار تشکیل آنها در گستره ۶۰۰ تا ۷۵۰ مگاپاسکال (معادل ۶ تا ۷/۵ کیلوبار) تعیین شده‌است.

مراجع

- [1] Aghanabati A., "Geology of Iran", Geological Survey of Iran, Tehran (2004).
- [2] Sengor A. M. C., "A new model for the late Palaeozoic-Mesozoic tectonic evolution of Iran and implications for Oman, In: Robertson A. H., Searle M.P., & Ries A. C., (eds) The Geology and Tectonics of the Oman Region", Geological Society, London, Special Publications, 49, (1990) 797-831.
- [3] Angiolini L., Gaetani M., Muttoni G., Stephenson M.H., & Zanchi A., "Tethyan oceanic currents and climate gradients 300 m.y. ago", Geology, 35, (2007) 1071-1074.
- [4] Alavi M., "Tectonostratigraphic synthesis and structural style of the Alborz Mountain System in

برداشت

بر اساس مشاهدات صحرایی، افزون بر بازلتها و آذرین لایه‌های گابرویی موجود در منطقه جنوب آزادشهر، وجود دو رخمنون متفاوت از مجموعه سنگ‌های مافیک به صورت توده‌های کوچک الیوین گابرویی با سطوح فرسایشی به نسبت کروی شکل (پوست پیازی) و دایک‌های دیوریتی قلیایی پگماتوئیدی در توالی‌های شیل و ماسه سنگی سازند شمشک آشکار شد. کانی‌های سازنده اصلی الیوین گابروها شامل الیوین، کلینوپیروکسن و پلازیوکلاز بوده و دیوریت‌های قلیایی نیز در بردارنده آمفیبول و پلازیوکلاز هستند. بیوتیت، آپاتیت و کانی‌های کدر نیز کانی‌های فرعی آن‌ها را تشکیل می‌دهند. زمین شیمی عناصر اصلی، کمیاب و خاکی نادر این نمونه‌ها به همراه نمودارهای عناصر خاکی نادر و چندعنصری نشانگر ماهیت قلیایی ماقمای سازنده آنها و برخاستن این ماقما از یک خاستگاه گوشته‌ای مشابه خاستگاه نوع OIB است که با غنی شدگی از LILE و HFSE مشخص می‌شود. براساس نتایج تجزیه نقطه‌ای EPMA، ترکیب شیمیایی کانی‌های الیوین، کلینوپیروکسن و پلازیوکلاز در الیوین گابروها به ترتیب کربیزولیت، دیوپسید-اوژیت و لابرادوریت است. نوع آمفیبول‌ها و پلازیوکلازهای دیوریت‌های قلیایی نیز با کرسوتیت-

Alborz zone", M.Sc. Thesis, Faculty of Geosciences, Shahrood University OF Technology (2003) 140 Pages.

[14] Jamshidi Kh., "The study of mafic magmatism in the base of Shemshak Formation in the eastern Alborz zone ", M.Sc. Thesis, Faculty of Geosciences, Shahrood University OF Technology (2010) 155 Pages.

[15] Ghasemi H., and Jamshidi Kh., "Geochemistry, petrology and proposed tectonomagmatic model for generation of alkaline basic rocks in the base of the Shemshak Formation, the eastern Alborz zone (In Persian)", Iranian Journal Of Crystallography And Mineralogy, 4 (19) (2012) 699-714.

[16] Ghasemi H., and Jamshidi Kh., "Investigation of source region properties of alkaline basic rocks in the base of Shemshak Formation in the eastern Alborz zone (In Persian)", Quarterly Iranian Journal Of Geology, 7 (27) (2013) 17-29.

[17] Salehirad R., "Gorgan Geological Quadrangle Map 1:250000", Geological Survey of Iran, Tehran (1990).

[18] Sheydaii Alashlu Z., "Mineral chemistry and crystallization condition of Gheshlagh intrusive body, Khosh Yeilagh, Shahrood ", M.Sc. Thesis, Faculty of Geosciences, Shahrood University OF Technology (2017) 170 Pages.

[19] Ghasemi H., Rostami Hosouri M., and Sadeghian, M., "Basic Magmatism in the Extentional Back-arc Basin of the Lower-Middle Jurassic on the Northern Edge of Central Iran-South of Eastern Alborz Zones, Shahrood-Damghan"(In Persian), Geosciences, Scientific Quarterly Journal of Geological Survey of Iran, 27 (107) (2018) 123-136.

[20] Stocklin J., "Structural history and tectonics of Iran: a review", AAPG Bulletin, 52, (1968) 1229-1258.

[21] Jafarian M. B., "Khosh Yeilagh Geological Quadrangle Map 1:100000", Geological Survey of Iran, Tehran (2004).

Iran", Journal of Geodynamics, 21(1), (1996) 1-33.

[5] Brunet M.F., Korateav M.W., Arshov A.V., Nikishin A.M., "The south Caspian Basin: a review of its evolution from subsidence modeling", Sediment. Geol. 148, (2003) 119-156.

[6] Fursich F. T., Wilmsen M., Seyed-Emami K.& Majidifard M. R., "Lithostratigraphy of the Upper Triassic-Middle Jurassic Shemshak Group of Northern Iran. In: Brunet M.-F., Wilmsen M., & Granth J. W., (eds) South Caspian to Central Iran Basins", Geological Society, London, Special Publications, 312, (2009) 129-160.

[7] Wilmsen M., Fursich F.T., Seyed-Emami K., Majidifard M.R., and Taheri J., "The Cimmerian Orogeny in northern Iran: tectono-stratigraphic evidence from the foreland", Terra Nova., 21, (2009) 211-218.

[8] Allen M. B., Ghasemi M. R., Shahrabi M., & Qorashi M., "Accommodation of late Cenozoic oblique shortening in the Alborz range", northern Iran. Journal of Structural Geology, 25, (2003) 659-672.

[9] Zanchi A., et al., "The Eo-Cimmerian (Late?Triassic) orogeny in North Iran. In: Brunet M.-F., Wilmsen M., & Granth J. W., (eds) South Caspian to Central Iran Basins", Geological Society, London", Special Publications, 312, (2009) 31-55.

[10] Berberian M., & King G., "Toward a paleogeography and tectonic evolution of Iran", Canadian Journal of Earth Sciences, 18, (1981) 210-265.

[11] Doroozi R., Masoudi F., " Geochemistry, petrogenesis and tectonic setting of Kamarbon Theralitic, Teschenitic gabbroic intrusion (Central Alborz)", Journal of Petrology, 12 (2012) 89-102.

[12] Doroozi R., Vaccaro C., Masoudi F., "Mesozoic alkaline plutonism: Evidence for extensional phase in Alpine-Himalayan orogenic belt in Central Alborz, north Iran", Solid Earth Science (2017) 1-18.

[13] Moghadasi S., "Petrology, petrogenesis and stratigraphy of Jurassic volcanic rocks in Eastern

- Lesotho Kimberlites (editor P. H. NIXON)", pp. 294-9, Lesotho Nat. Development Corp, (1973) 350 pp.*
- [33] Bender J.F., Hodges F. N., & Bence, A. E., "Petrogenesis of basalts from the project FAMOUS area: experimental study from 0 to 15 Kbar", Earth and Planetary Science Letters 41, (1978) 277- 302.
- [34] Schweitzer E. L., Papike J. J. and Bence A. E., "Statistical analysis of clinopyroxenes from deep sea basalts", American Mineralogist 64, (1979) 501-513.
- [35] Leake B. E., Woolley A. R., Arps C. E. S., "Nomenclature of amphiboles: report of the subcommittee on amphiboles of the International Mineralogical Association, Commission on new minerals and mineral names", Canadian Mineralogist 35, (1997) 219-246.
- [36] Martin R. F., "Amphiboles in the Igneous Environment", Reviews in Mineralogy & Geochemistry 67, (2007) 323-358.
- [37] Leake B.E., "On aluminous and edenitic hornblendes". Mineralogical Magazine, 38 (1971) 389-407.
- [38] Jiang C.Y., An S.Y., "On chemical characteristics of calcic amphiboles from igneous rocks and their petrogenesis significance", Journal of Mineralogy and Petrology 3, (1984) 1-9 (in Chinese with English abstract).
- [39] Zhang J.Q., Li S.R., Santosh. M., Wang J.Z., and Li Q., "Mineral chemistry of high-Mg diorites and skarn in the Han-Xing Iron deposits of South Taihang Mountains, China: Constraints on mineralization process", Ore Geology Reviews 64 (2015) 200-214.
- [40] Hawthorne F.C. "Crystal chemistry of the amphiboles", In Mineralogical Society of America Reviews in Mineralogy, 9A, (1981) 1-102.
- [41] Gilbert M.C., Helz R.T., Popp R.K., and Spear F.S. "Experimental studies of amphibole stability", In Mineralogical Society of America Reviews in Mineralogy, 9B (1982) 229-353.
- [42] Ernst W. G., Liu. J., "Experimental phase-[22] Middlemost E. A. K., "Naming materials in the magma igneous rock system", Earth Science Reviews 37, (1994) 215-224.
- [23] Winchester J.A. and Floyd P.A., "Geological magma type discrimination: application to altered and metamorphosed basic igneous rocks", Earth and Planetary Sciences, 28, (1977) 459-469
- [24] Wilson M., "Igneous Petrogenesis", Unwin Hyman, London. 466 (1989).
- [25] Sun S.S. and Mc Donough W.F., "Chemical and isotopic systematics of oceanic basalts: implication for mantle composition and processes. In: A.D., Saunders and M. J., Norry (Eds): Magmatism in ocean basins", Geological Society of London, U. K. Special Publication, 42, (1989) 313-345.
- [26] Deer W.A., Howie R.A., Zussman J., "An Introduction to the rock-forming minerals", John Wiley and Sons, New York, (1966) P 528.
- [27] Morimoto N., Fabries, J., Ferguson A. K., Ginzburg I. V., Ross M., Seifert F. A., Zussman J., Aoki K., Gottardi G., "Nomenclature of Pyroxenes", American Mineralogist 65, (1988) 1-28.
- [28] Le Terrier J., Maury R. C., Thonon P., Girard D., Marchal M., "Clinopyroxene composition as a method of identification of the magmatic affinities of paleo-volcanic series", Earth and Planetary Science Letters 59 (1982) 139-154.
- [29] Rollinson H.R., "Using geochemical data: evaluation, presentation, interpretation", Longman (1993).
- [30] Nisbet E. G., Pearce J. A., "Clinopyroxene composition of mafic lavas from different tectonic settings", Contributions to Mineralogy and Petrology 63, (1977) 161-173.
- [31] Soesoo A., "A multivariate statistical analysis of clinopyroxene composition: empirical coordinates for the crystallisation PT-estimations", Geological Society of Sweden (Geologiska Foreningen) 119, (1997) 55-60.
- [32] Kushiro I., "Partial melting of garnet-Iherzolites from kimberlite at high pressures. In:

"metamorphism", Contributions to Mineralogy and Petrology, 45, (1974) 231-236.

[44] Schmidt M. W., "Amphibole composition in tonalite as a function of pressure: An experimental calibration of the Al-in-hornblende barometer" Contributions to Mineralogy and Petrology 110 (1992) 304-310.

equilibrium study of Al and Ti contents of Calcic amphibole in MORB-A semiquantitative thermobarometer", American Mineralogist 83(1998) 952-969.

[43] Raase P., "Al and Ti contents of hornblende, indicators of pressure and temperature of regional